# L'angiographie : de l'imagerie morphologique à l'imagerie fonctionnelle



Sidy Fall: Université de Strasbourg - BioFlowImage Olivier Baledent: CHU Amiens — BioFlowImage













## **PLAN**

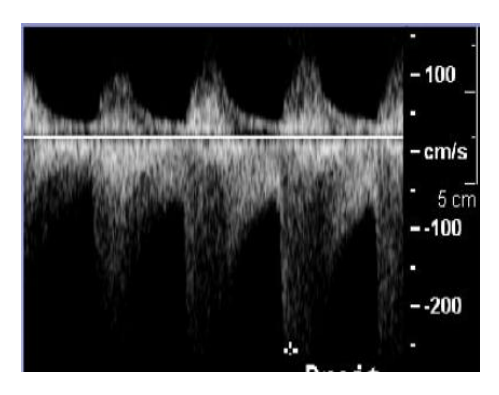
- 1) Techniques d'imagerie Vasculaire
- ✓ Angiographie
- ✓ IMR de flux (2D, 3D, 4D)

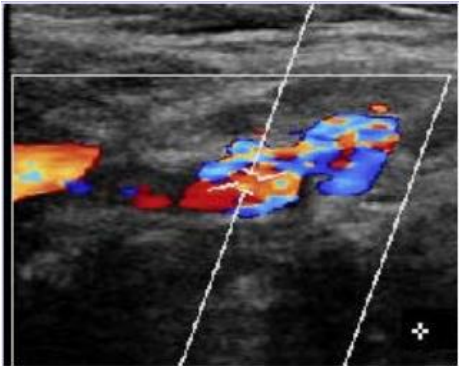
2) Quelques applications de l'imagerie vasculaire (bibliographie)

3) Angiographie et IMR de flux appliquées au système veineux cérébral

## Techniques d'imagerie en Angiographie

## écho-Doppler

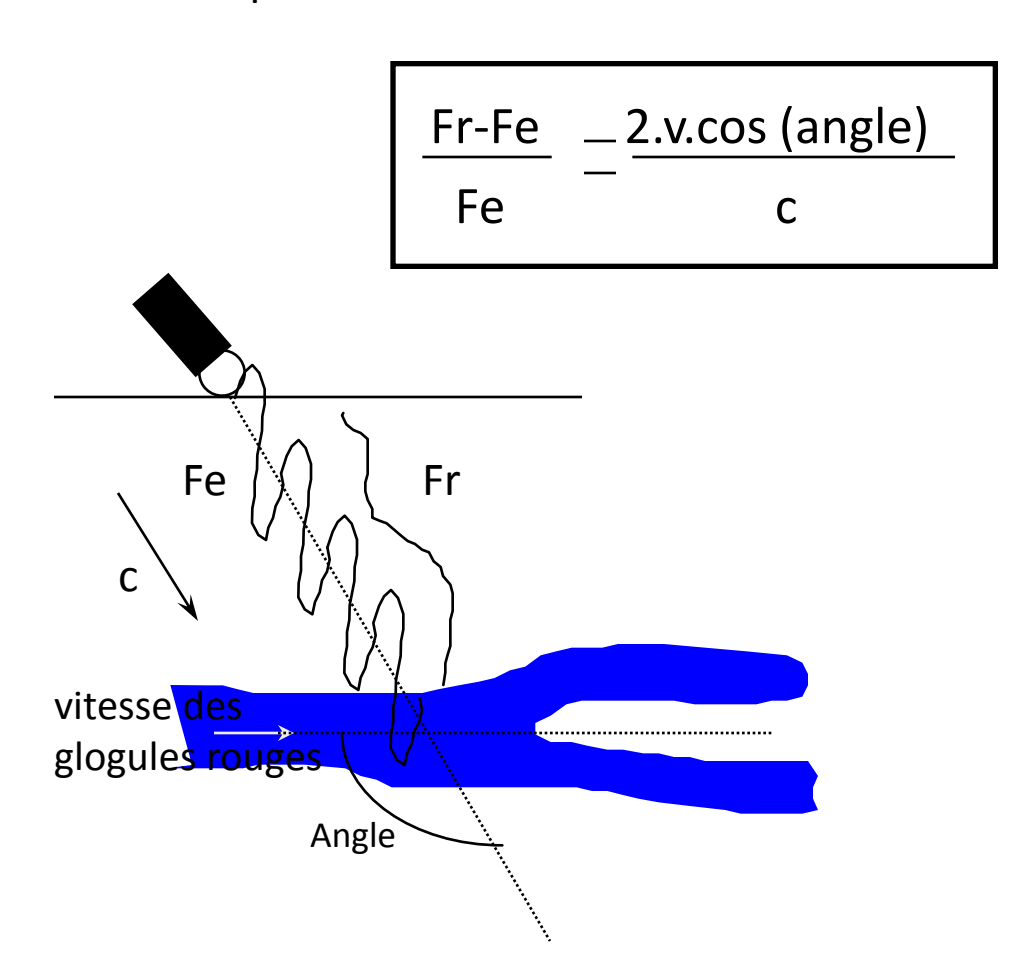


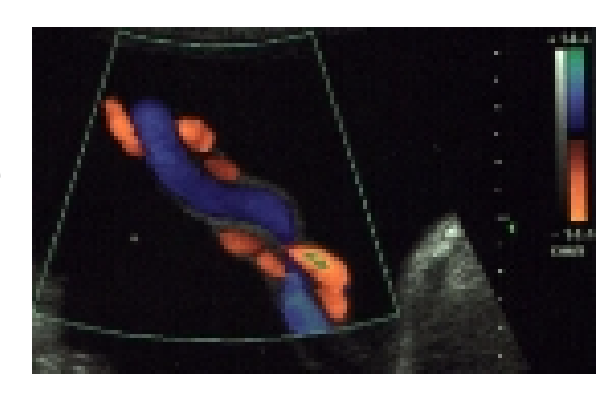


- Opérateur dépendant
- Boîte crânienne
- Limité par la profondeur des vaisseaux
- Principalement indiqué dans les sténoses

#### EFFET DOPPLER

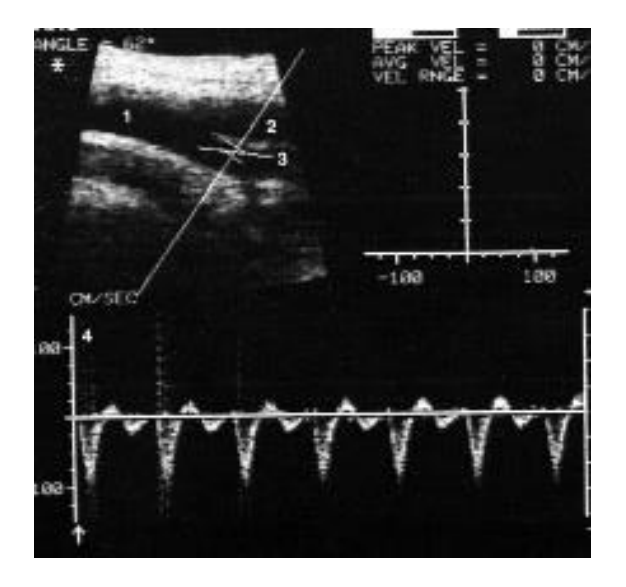
La **fréquence** d'une onde rétro diffusée par une particule en mouvement est **modifiée** par rapport à l'onde incidente d'une quantité **proportionnelle** à la vitesse de la particule.





Flux du cordon ombilical.

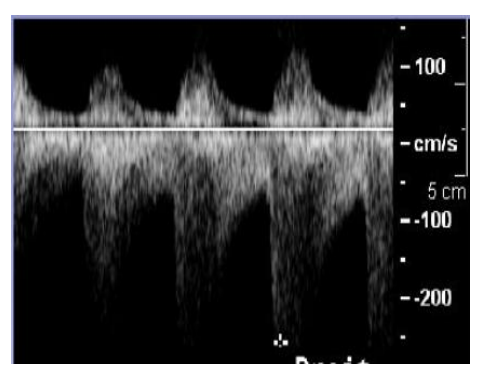
#### Vascularisation du membre inférieur

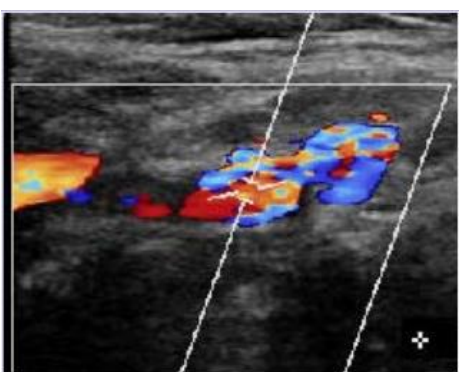


Courbe vélocimétrique de l'artère profonde doppler pulsé.

## Techniques d'imagerie en Angiographie

## écho-Doppler

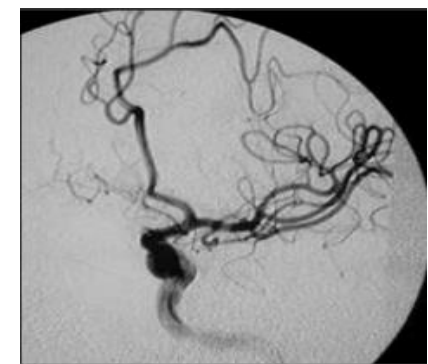




- Opérateur dépendant
- Boîte cranienne
- Limité par la profondeur des vaisseaux
- Principalement indiqué dans les sténoses

## **Angio-Scanner**





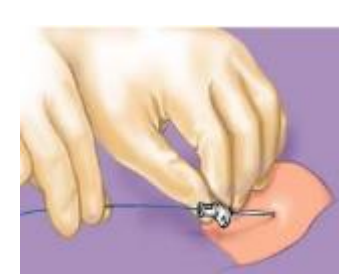
- Injection d'un produit de contraste iodé à l'aide d'un cathéter dans le vaisseau exploré
- Imagerie ionisante
- Anesthésie locale ou générale

### Angio-scan inventionelle: application

#### **Embolisation**

Blocage intentionnel d'un vaisseau utilisant un cathéter en angio scanner

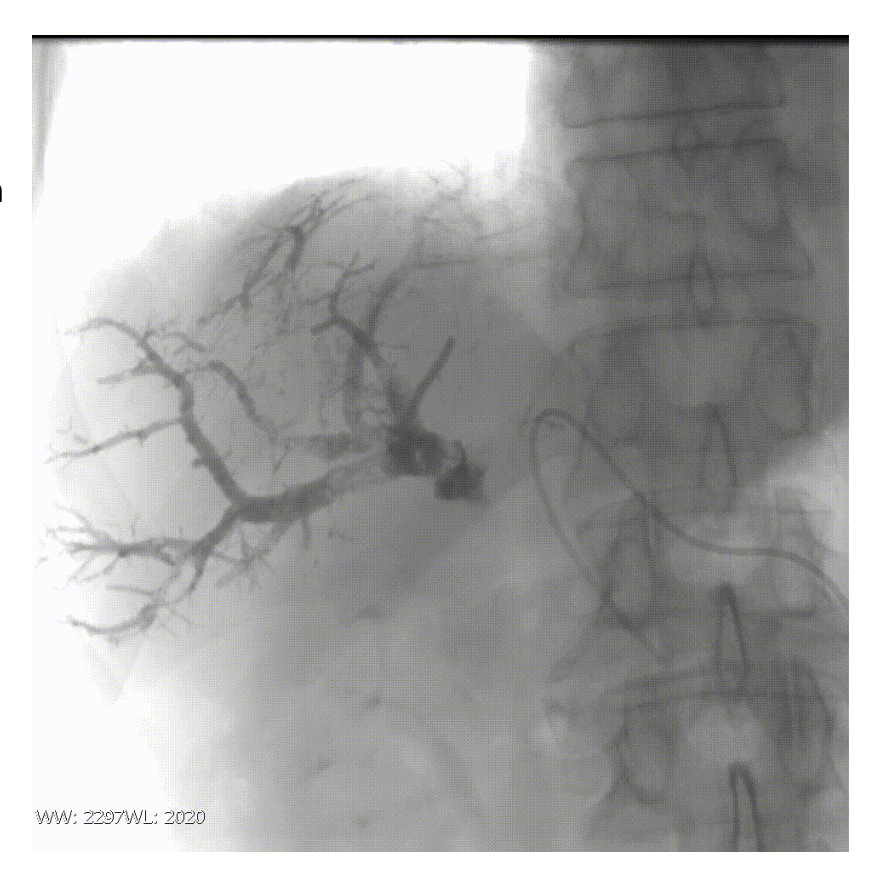




- Le patient est irradié en continu
- La plaque photographique est remplacée par un écran fluorescent.

Observation en temps réel de la cinétique du cœur et des poumons.

Observation du cathéter radio-opaque au cours de l'acte chirurgical.



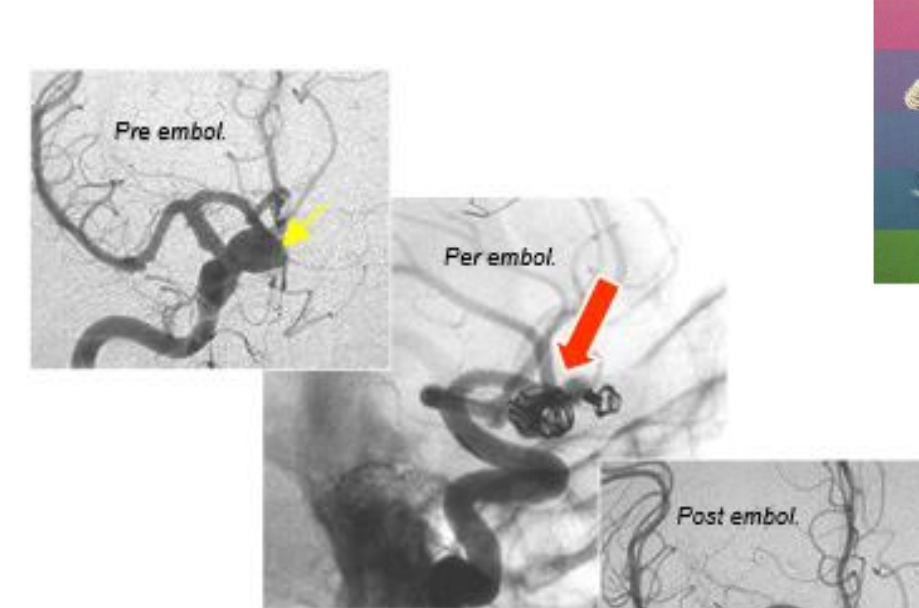
## Angio-scan inventionelle: application

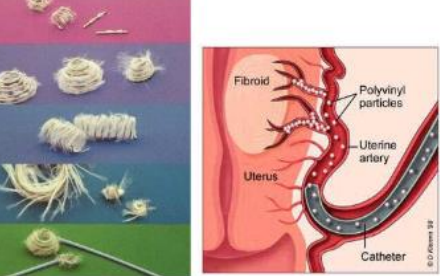
#### **Embolisation**

Dépôt de micro-coils ou de particules dans la lésion









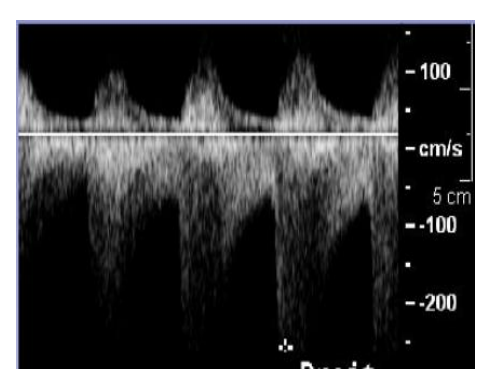
Coils

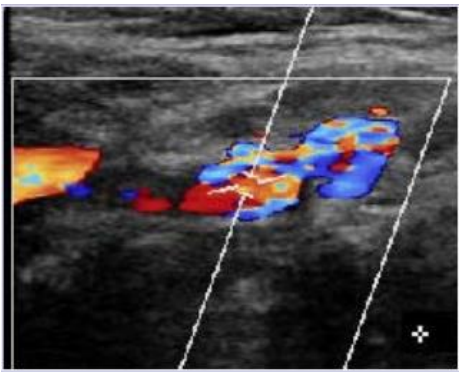
Particules

Angiographies montrant un anévrisme cérébral (flèche jaune) traité par embolisation avec des micro-coils (flèche rouge)

### Techniques d'imagerie en Angiographie

## écho-Doppler

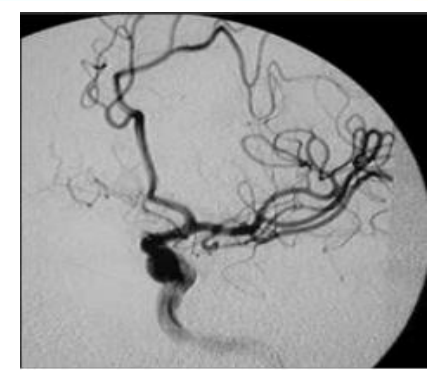




- Opérateur dépendant
- Boîte crânienne
- Limité par la profondeur des vaisseaux
- Principalement indiqué dans les sténoses

#### **Angio-Scan**

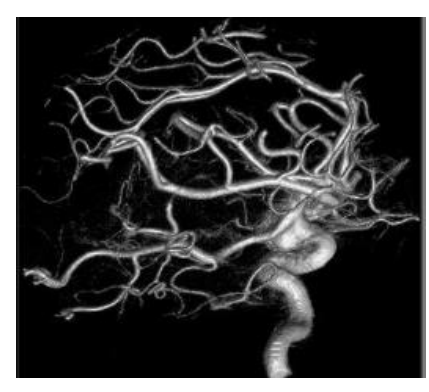




- Injection d'un produit de contraste iodé à l'aide d'un cathéter dans le vaisseau exploré
- Imagerie ionisante
- Anesthésie locale ou générale

## **Angio-IRM**

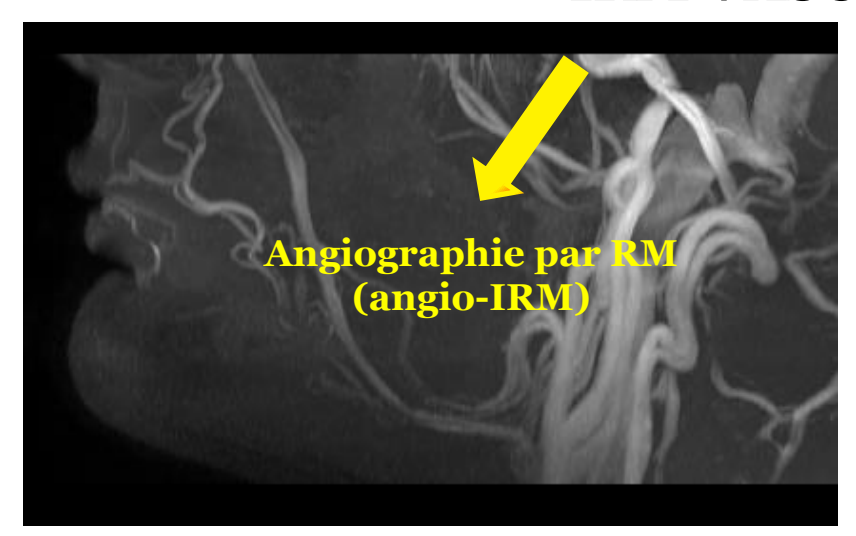




- Avec ou sans injection d'un produit de contraste
- Information sur dynamique circulatoire

#### Techniques d'exploration de la vascularisation en IRM

### IRM VASCULAIRE





Temps de vol «time of flight»: TOF



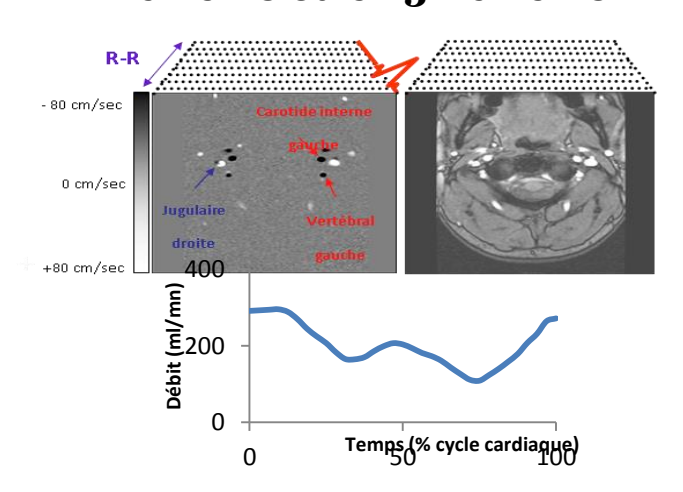
Angiographie par contraste de Phase: PCA



Fonctionnelle: quantification

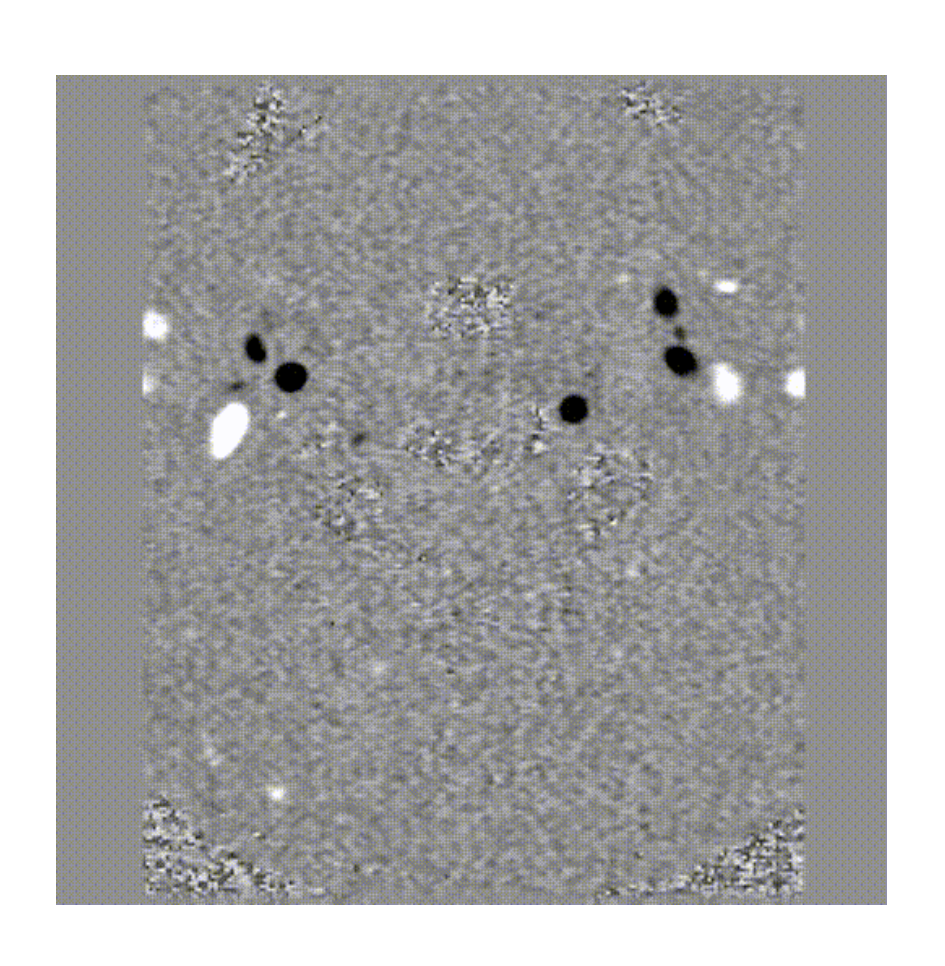


2D ciné PC ou en 3D ciné PC

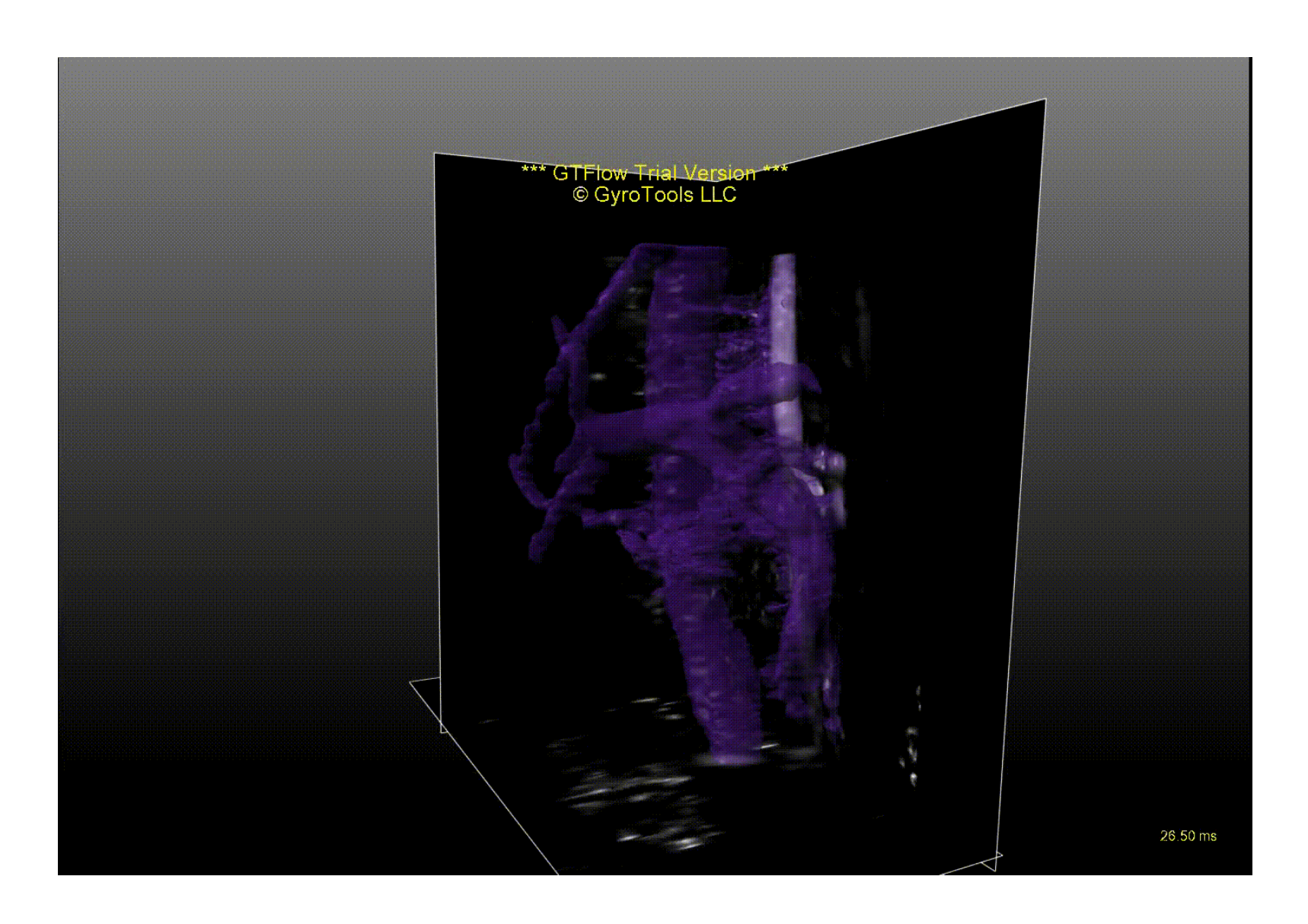


<sup>•</sup> ces acquisitions peuvent être réalisées en 2D ou en 3D

## 2D ciné PC



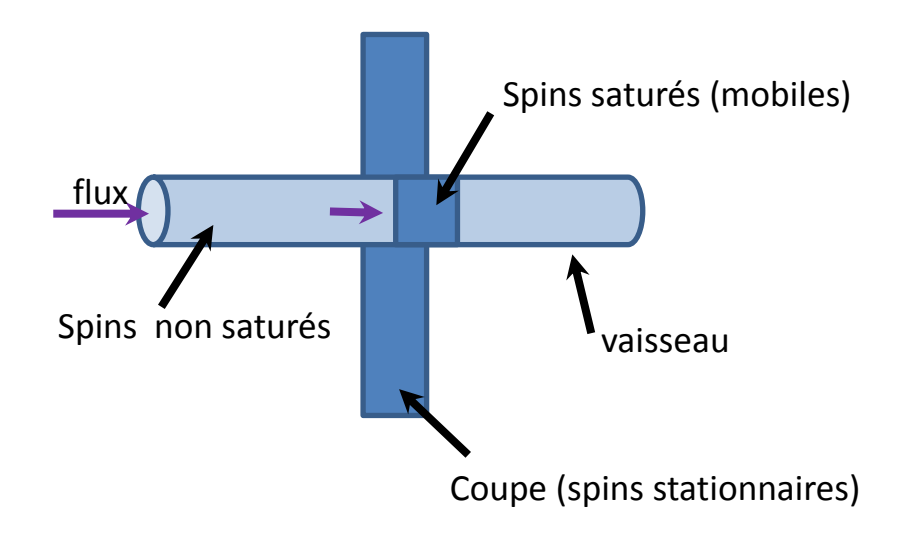
## ou 3D ciné PC



#### Angiographie par TOF (temps de vol)

## **Principes:** saturation

- 1- Saturation des spins dans le volume
- 2- Augmentation du signal due à l'apport des spins entrant dans le volume
- 3- Suppression du signal des spin saturés: Contraste : Différence de magnétisation entre spins mobiles et stationnaires



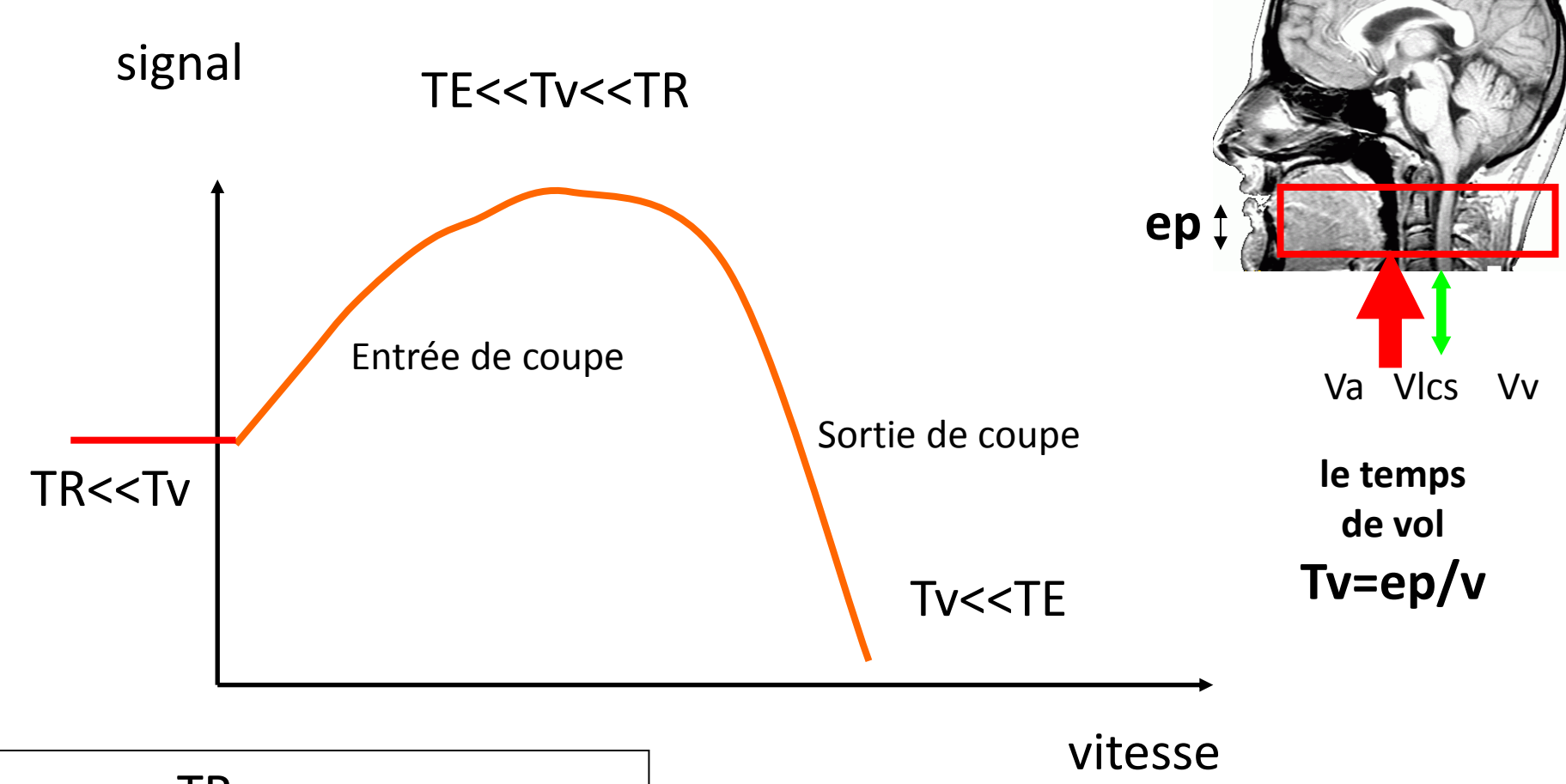
### **Avantages**

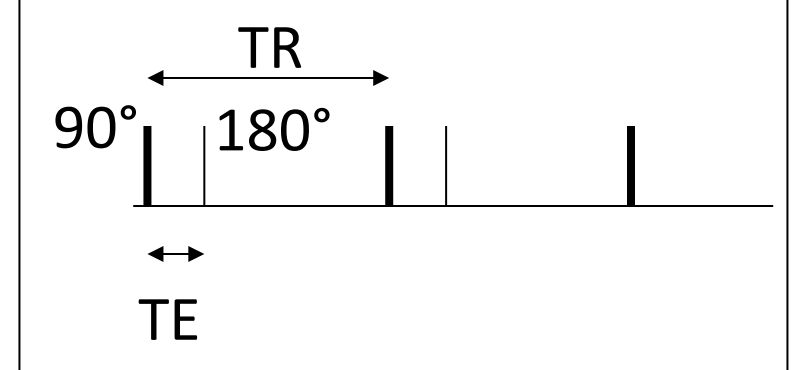
- En **2**D: acquisition rapide, adaptée aux flux lents, meilleur contraste
- En **3**D: acquisition d'un volume, meilleur S/B et résolution spatiale

### Limites

- Flux turbulents
- Artéfacts de saturation des spins entrant dans le volume (flux lents et grandes distances à parcourir, coupes épaisses)
- Artéfacts des spins à T1 courts (graisses), difficiles à saturer s'ils sont contenus dans le volume d'étude
- En 2D, coupes relativement épaisses (limite la résolution), géométrie restreinte

## **LE FLUX**





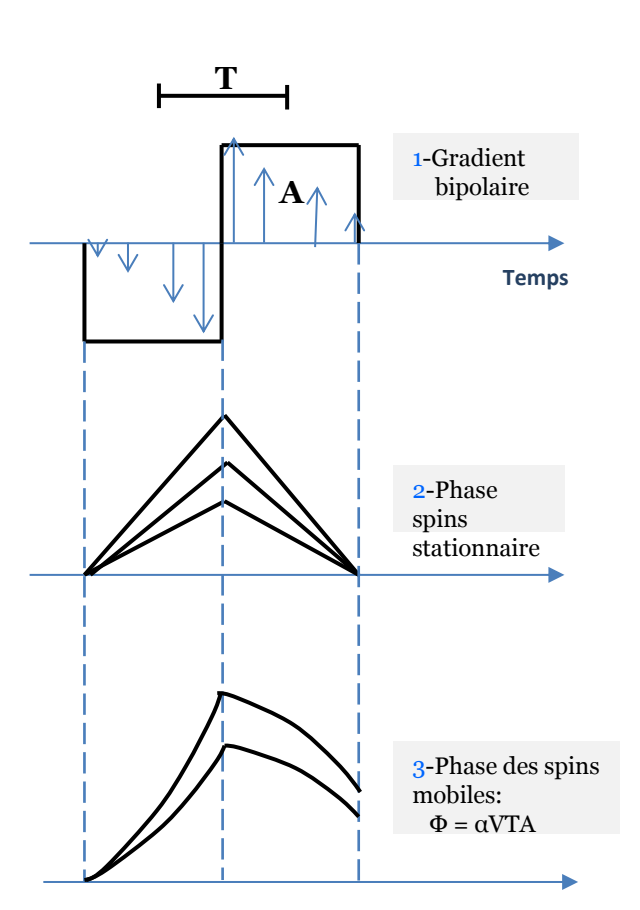
#### Angiographie par contraste de phase

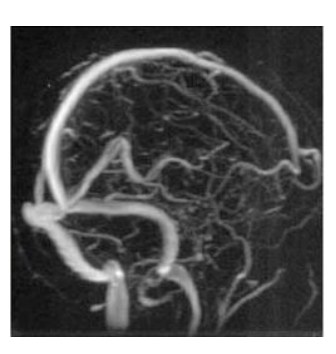
## Principes: différence de phase

- 1- Gradient bipolaire
- 2- Les spins stationnaire sont déphasés par le 1<sup>er</sup> lobe des gradients. Cette phase est ensuite annulée par le deuxième lobe des gradients
- 3- Les spins en mouvement sont déphasés par le 1<sup>er</sup> lobe des gradients. A la fin du  $2^{\grave{e}me}$  lobe, ces spins en mouvement acquièrent une phase résiduelle proportionnelle à leurs vitesses:  $\Phi = \alpha VTA$
- 4- Seuls les spins mobiles ont une différence de phase non nulle



Angio arterielle





Angio veineuse

## Cartographie dynamique des flux

## **Principes**

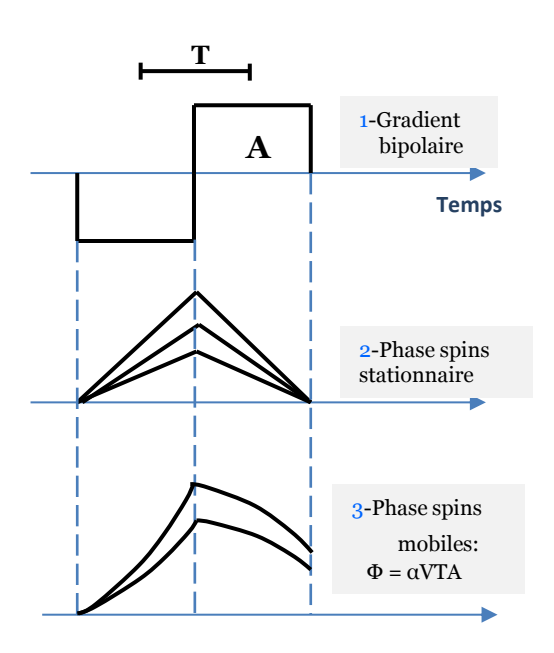
## **Avantages**

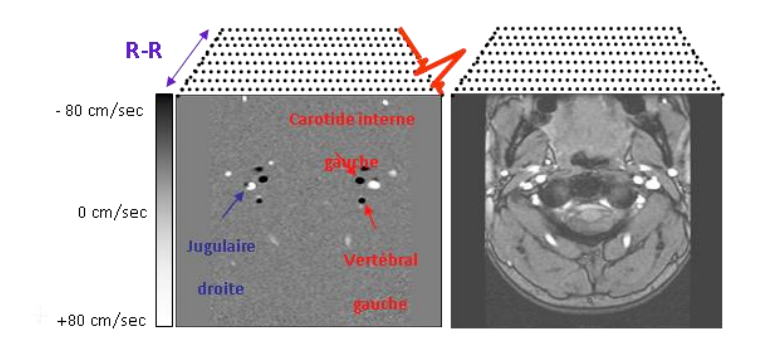
Pas de phénomène de saturation

Quantitative: sens et vitesse du flux sanguin

## Limites

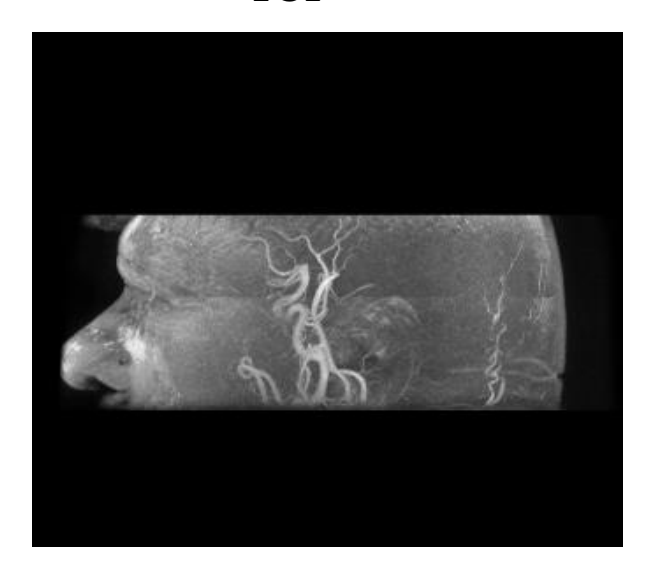
- Flux turbulents
- Tracé des contours  $\longrightarrow$   $Q_{ml/cycle} = V \times S$
- TE très court pour éviter des déphasages intravoxels

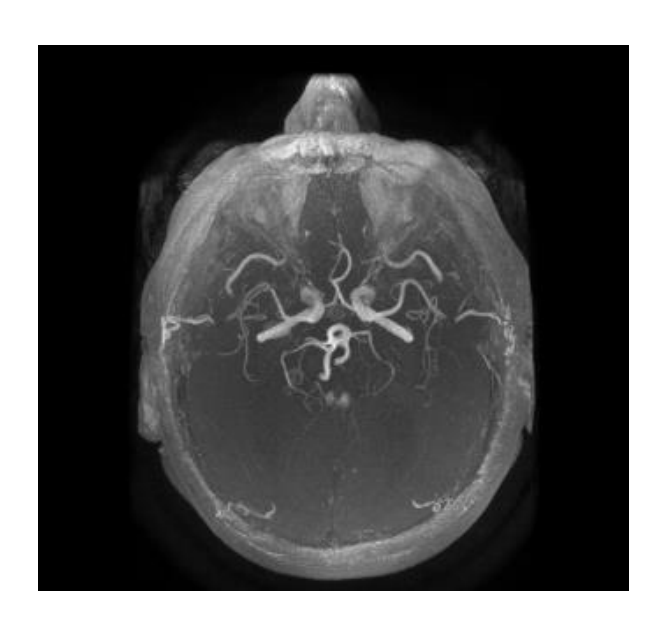




Perte de signal

Temps de vol «time of flight»: TOF



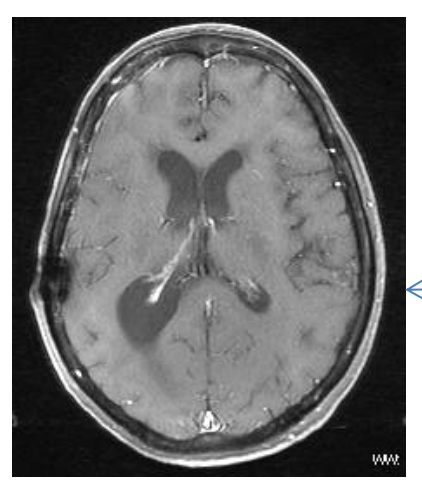


Angiographie par contraste de Phase: PCA









### **IRM: SIGNAL**

Gadolinium

T1

#### Graisse

Agents paramagnétiques

- gadolinium ++
- mélanine, fer, magnésium

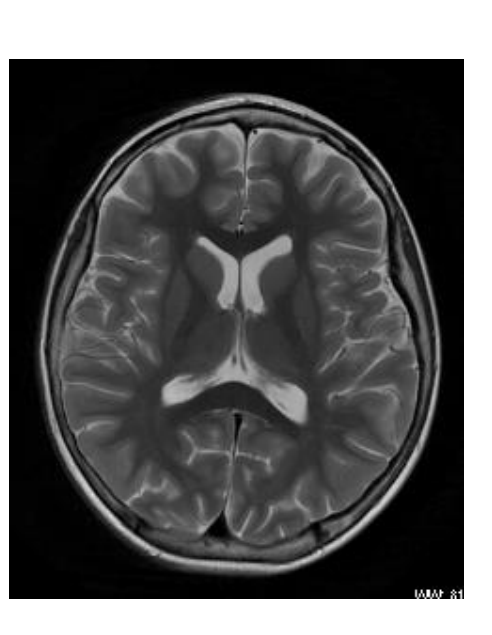
Sang en phase subaiguë Vaisseaux thrombosés, circulant très lentement

EAU + PROTEINES SG, SB, muscle, parenchyme (Signal intermédiaire T1/T2)

Os et Calcifications Air Vaisseaux à flux rapides Artefacts métalliques Hémosiderine

#### EAU

- LCR, Urine, kyste
- Œdème , nécrose, fibrose



# Applications de l'imagerie vasculaire: bibliographie

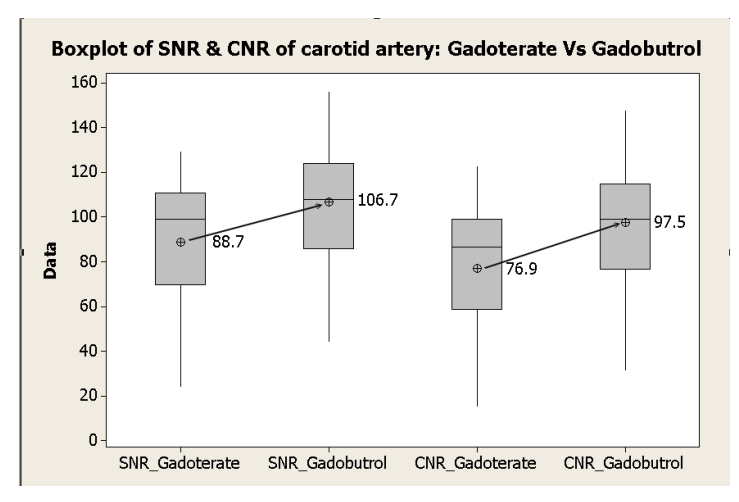
## EFFECT ON IMAGE QUALITY OF CAROTID THREE-DIMENSIONAL MR-ANGIOGRAPHY: 1.0 M GADOBUTROL VERSUS 0.5 M GADOTERATE MEGLUMINE AT 3 TESLA SCANNER

RAYMOND LEE<sup>1</sup>, Gladys Lo Goh<sup>1</sup>, Kai Ming Paul Au Yeung<sup>1</sup>, CHI WAI LIU<sup>1</sup>, KA MAN CHAN<sup>1</sup>, and MEI LEE BETTY HUNG<sup>1</sup>

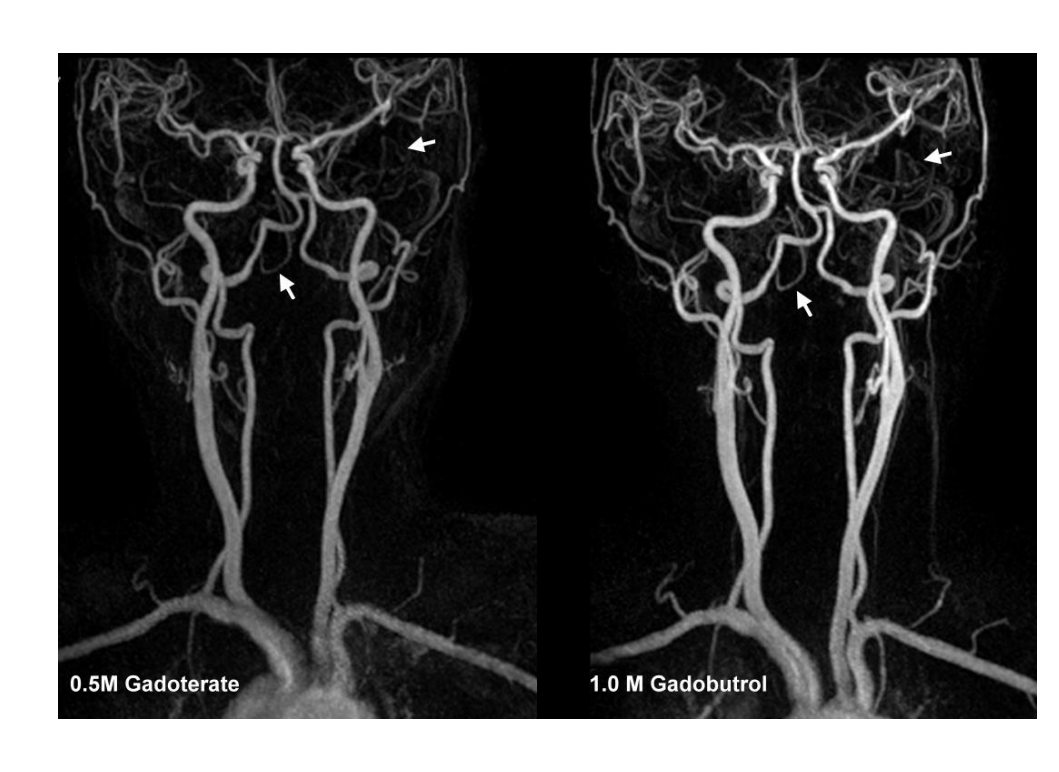
**But**: Impact de la concentration du gadolinium injecté sur la détectabilité des petits vaisseaux: comparaison quantitative en termes de SNR et CNR sur plusieurs segments de la carotide interne. Agents de contraste à base de gadolinium: 0.5 M versus 0.1 M.

**IRM 3T siemens** 

Séquence: 3D CE-MRA, avec injection de gadolinium à 0.1 mmol/kg



Différences significatives (p<0.05)



#### High-Speed, High-Resolution Whole-Head Sparse Contrast-Enhanced MR Angiography

**But**: Nouvelles techniques d'angiographie rapide de haute-résolution spatiale. Reconstruction des images basée sur un algorithme itératif utilisant des paramètres de régularisation et un souséchantillonnage de l'espace k

#### Paramètres de la séquence

**IRM 3T siemens** 

Séquence: 3D CE-MRA, avec injection de gadolinium

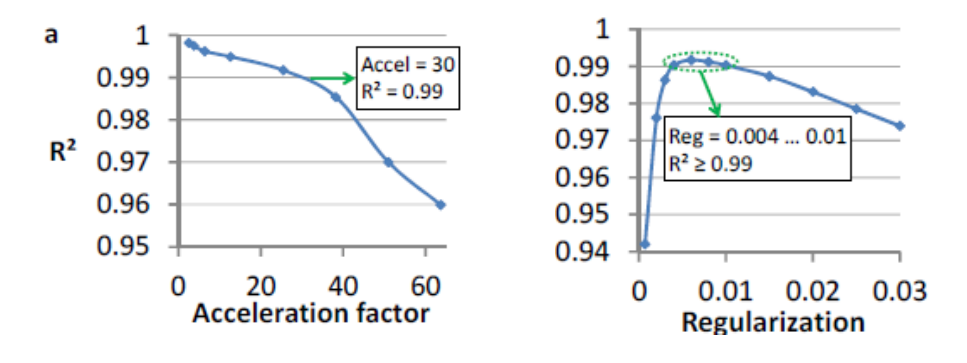
TR/TE = 3.6/1.53 ms

Champ de vue: 265 x 232 x 202 mm<sup>3</sup>

Matrice des images: 384x336x288

Résolution spatiale = 0.7 mm<sup>3</sup>

Durée= 10 s.



The correlation coefficient (R2) between fully sampled and retrospectively undersampled data consistently decreased with increasing acceleration (Phantom results).



Fig.3: MIP of the arterial and venous phases (after subtraction) for a patient presenting a normal intracranial vasculature. The acquisition time per whole-head 3D volume was 10 s for a 30-fold acceleration factor.

## NON-CONTRAST ENHANCED 4D ARTERY-SELECTIVE MR ANGIOGRAPHY USING SPATIALLY SELECTIVE SATURATION

Thomas Lindner<sup>1</sup>, Ulf Jensen-Kondering<sup>1</sup>, Fritz Wodarg<sup>1</sup>, Olav Jansen<sup>1</sup>, and Michael Helle<sup>2</sup>
<sup>1</sup>Department of Radiology and Neuroradiology, UKSH, Kiel, Germany, <sup>2</sup>Philips Research, Hamburg, Germany

**But**: Angiographie dynamique et sélective appliquée au suivi de l'arborescence vasculaire.

**IRM 3T Philips** 

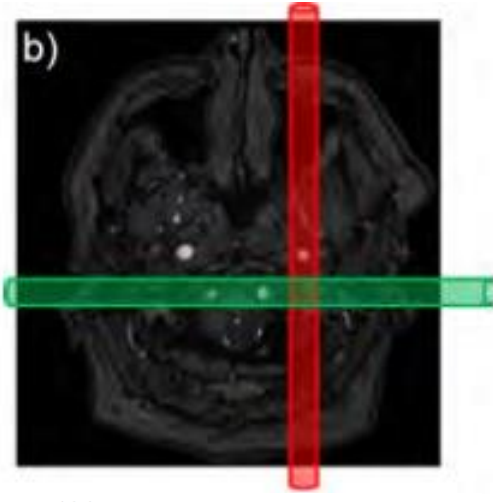
Séquence: 4D NCE-MRA

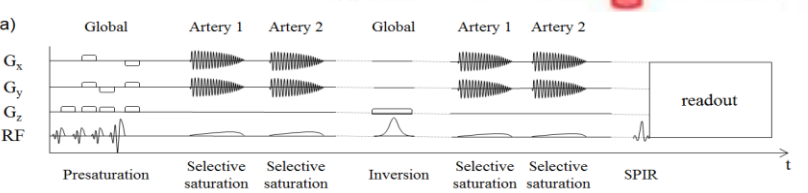
TR/TE = 4.6/2.2ms

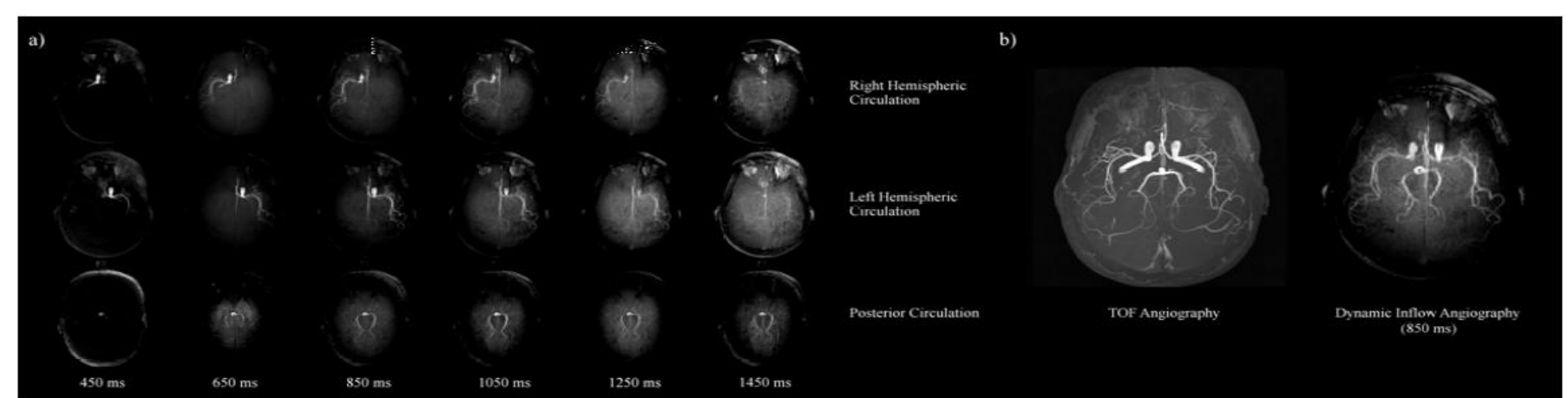
Champ de vue: 210 x 210 mm<sup>2</sup>

Matrice des images: 233 x 233 x 233

Résolution spatiale 0.9 x 0.9 x 0.9 mm<sup>3</sup>







#### Dual vessel labeling scheme for non-contrast time-resolved MR angiography

Masanobu Nakamura<sup>1</sup>, Masami Yoneyama<sup>2</sup>, Makoto Obara<sup>1</sup>, Atsushi Takemura<sup>1</sup>, Taro Takahara<sup>3</sup>, and Marc Van Cauteren<sup>1</sup>

**But**: Angiographie dynamique et sélective appliquée au suivi de l'arborescence vasculaire: technique de double labélisation. Combiner le suivi d'une des 2 carotides avec l'artère cérébrale postérieure.

#### Paramètres de la séquence

**IRM 3T Philips** 

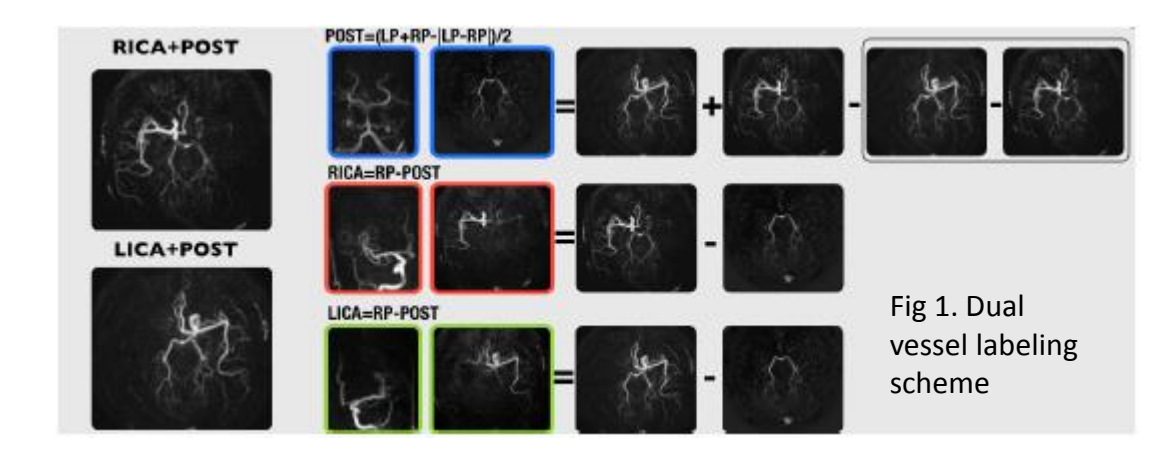
Séquence: 4D NCE-MRA

TR/TE = 4.6/2.2ms

Champ de vue: 220 x 200 mm<sup>2</sup>

Matrice des images: 224 x 162

Résolution spatiale 0.98 x 1.36 x 1 mm<sup>3</sup>



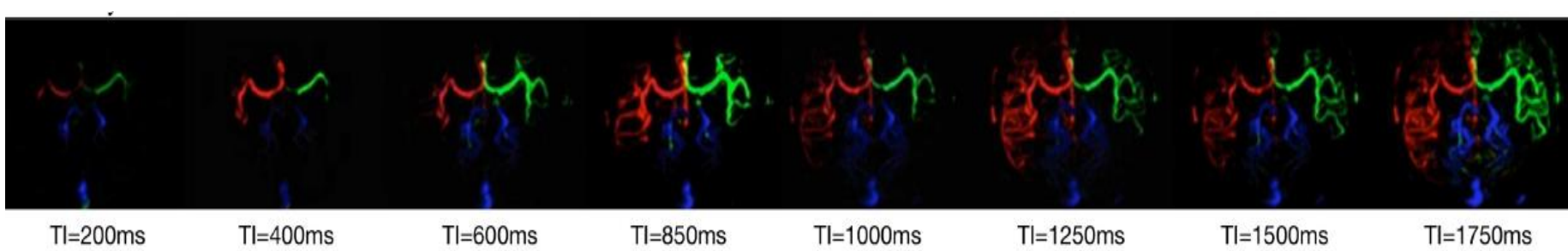


Fig 2. Selected frames in dual vessle labeling after separating the vascular components. Colors are used to represent the origin of the blood signal (red = RICA, green = LICA, blue = BA).

#### High Temporal Frame Rate 3D Spiral Head and Neck Magnetic Resonance Angiography: Initial Experience

Bo Xu<sup>1,2</sup>, Pascal Spincemaille<sup>2</sup>, Nanda Deepa Thimmappa<sup>2</sup>, Martin Prince<sup>2</sup>, and Yi Wang<sup>1,2</sup>

Biomedical Engineering, Cornell University, Ithaca, New York, United States, 2 Radiology, Weill Cornell Medical College, New York, New York, United States

**But**: Angio Dynamique: mise en évidence par IRM de la dynamique du passage du sang artérioveineux sachant que le temps de transit du sang artério-veineux ~ 4 – 6 sec.

#### Paramètres de la séquence

IRM 1.5T GE

Séquence: 4D CE MRA avec injection de gado

TR/TE = 7.2/0.6 ms

Champ de vue: 420 mm<sup>2</sup>

Matrice des images: 336 x 336 x 50

Résolution spatiale 1.25 x 1.25 x 3 mm<sup>3</sup>

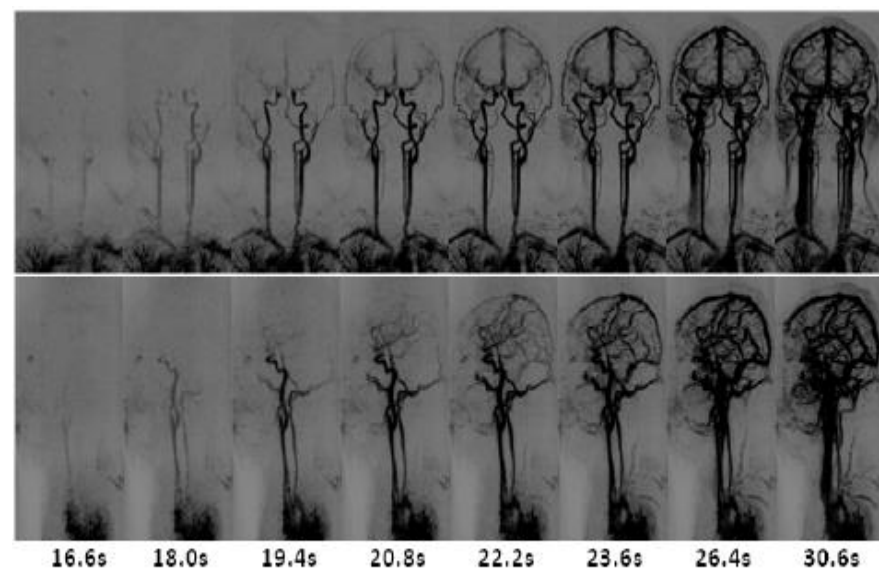


Fig 1. MIP images of coronal and sagittal MIPS at different time points showing the enhancement patterns of the carotid and intracranial arteries.

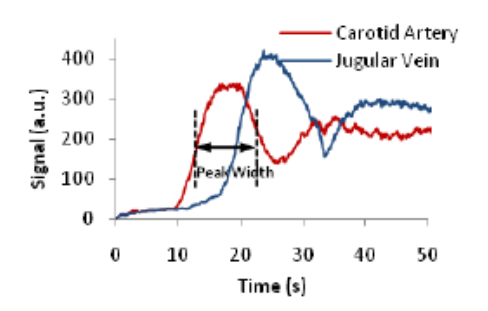


Fig 2. Signal intensity curves of carotid artery and jugular vein.

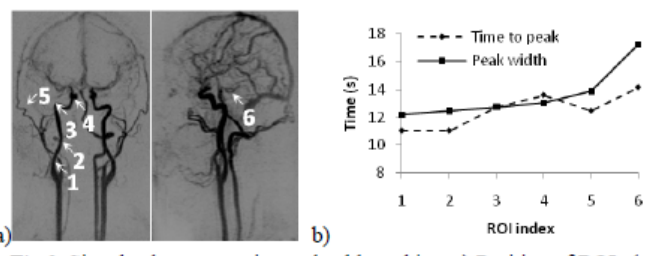


Fig 3. Signal enhancement in one healthy subject a) Position of ROIs (see text). b) Corresponding signal peak widths and time to peak enhancement.

#### High Field Magnetic Resonance Angiogram of the Mouse Eye

Gangchea Lee<sup>1</sup>, Minjung Kim<sup>2</sup>, and Thomas Neuberger<sup>1,3</sup>

**But**: Angiographie à très haut-résolution spatiale de la vascularisation oculaire chez le rat

#### Matériel et méthode

IRM petit animal (9 cm), 14T, antenne de surface

Synchronisation respiratoire

Séquence: 3D MRA avec injection de produit de contraste

TR/TE = 40/4.5ms

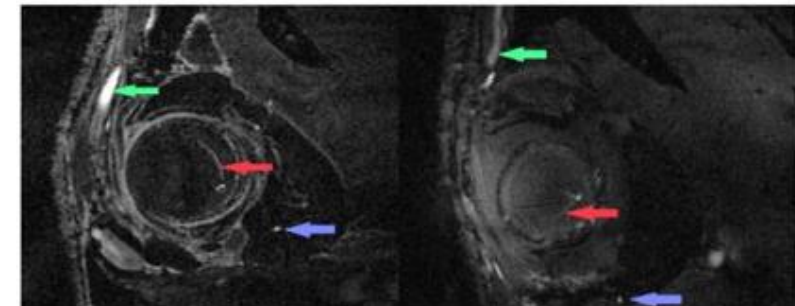
Champ de vue: 6 x 7.2 x 7.2 mm<sup>3</sup>

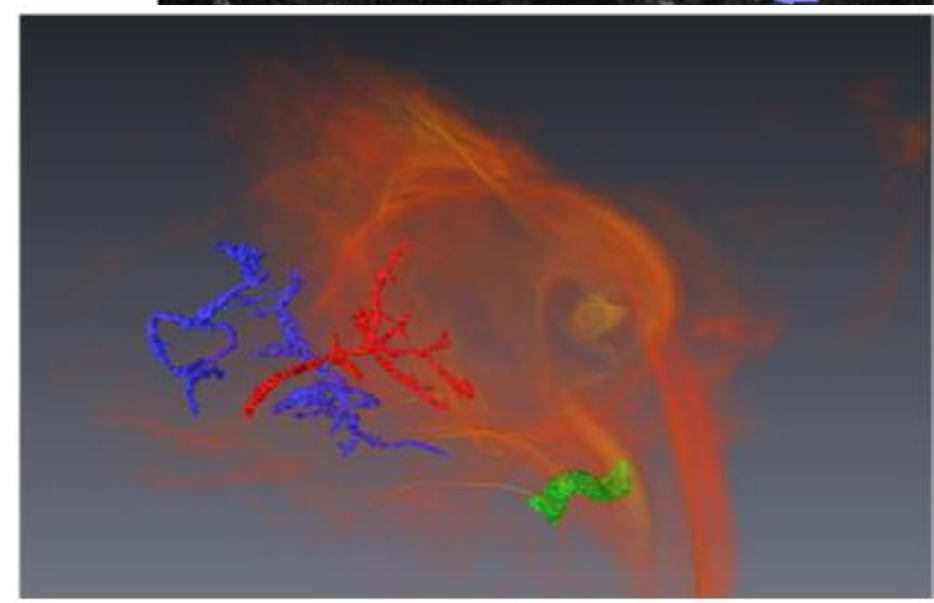
Matrice des images: 200 x 240 x 240

Résolution spatiale 0.03 x 0.03 x 0.03 mm<sup>3</sup>



Figure 1: The mouse ready to be imaged.





## Comprehensive Hemodynamic Evaluation of Intracranial Atherosclerotic Disease with 4D Flow MR Imaging

Can Wu<sup>1</sup>, Shyam Prabhakaran<sup>2</sup>, Timothy Carroll<sup>1,3</sup>, Parmede Vakil<sup>3</sup>, Neil Chatterjee<sup>1,3</sup>, Amir Honarmand<sup>3,4</sup>, Sameer Ansari<sup>3,4</sup>, James Carr<sup>3</sup>, and Michael Markl<sup>1,3</sup>

**But**: flux 4D appliqués à la prise en charge des sténoses cérébrale (plaques d'athérome par exemple). Mise en évidence de l'impact des lésions sténosantes sur la vascularisation cérébrale.

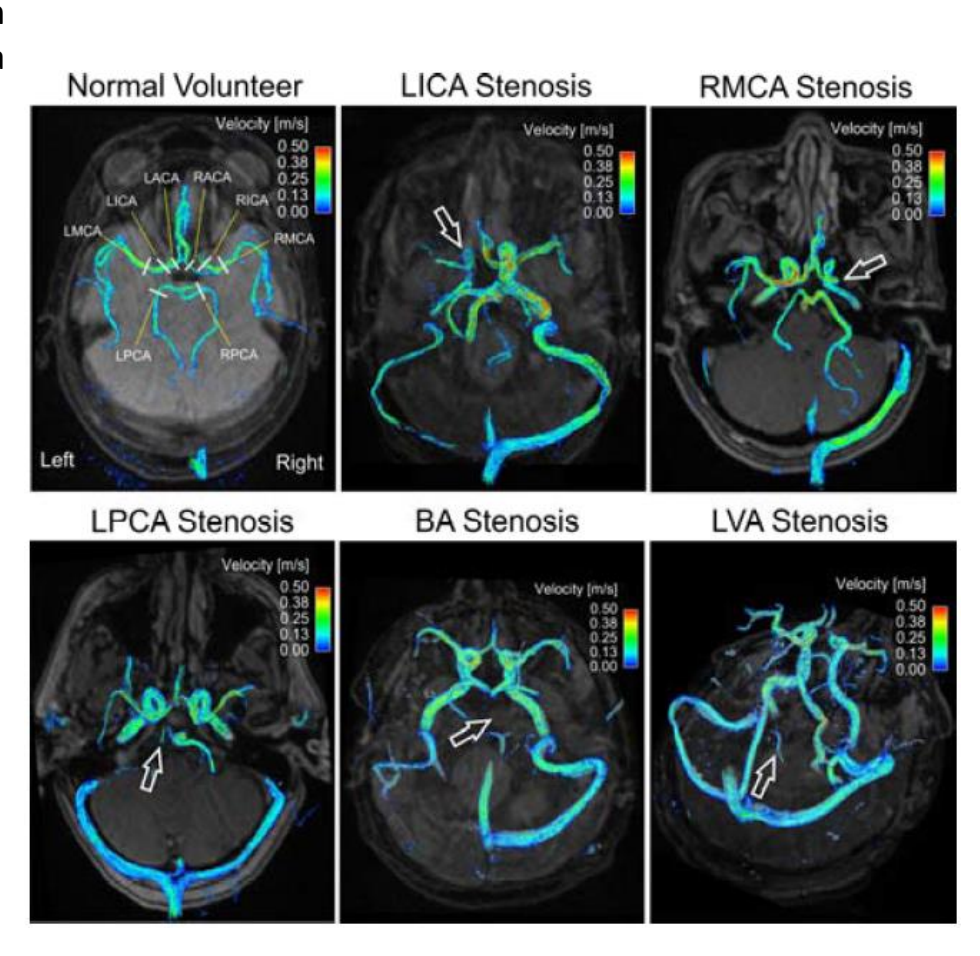
Séquence: 4D flow synchronisée

TR/TE = 5.2/2.8 ms

Venc = 80-100 cm/s

Résolution spatiale 1.1 x 1.1 x 1.5 mm<sup>3</sup>

Durée = 15-20 mn



## 3D Cine Phase-Contrast MRI of Flow Patterns and Turbulent Kinetic Energy in Patient-Specific Models of Carotid Disease under In Vivo Mimicking Flow Conditions

P. DYVERFELDT<sup>1,2</sup>, G. ACEVEDO-BOLTON<sup>1</sup>, A. J. MARTIN<sup>1</sup>, AND D. SALONER<sup>1</sup>

**But**: Modélisation des lignes de courant et des turbulences chez 2 patients présentant une sténose sévère au niveau de la carotide interne. Modèles obtenus à partir des images 3D ciné en contraste de phase.

#### Paramètres de la séquence

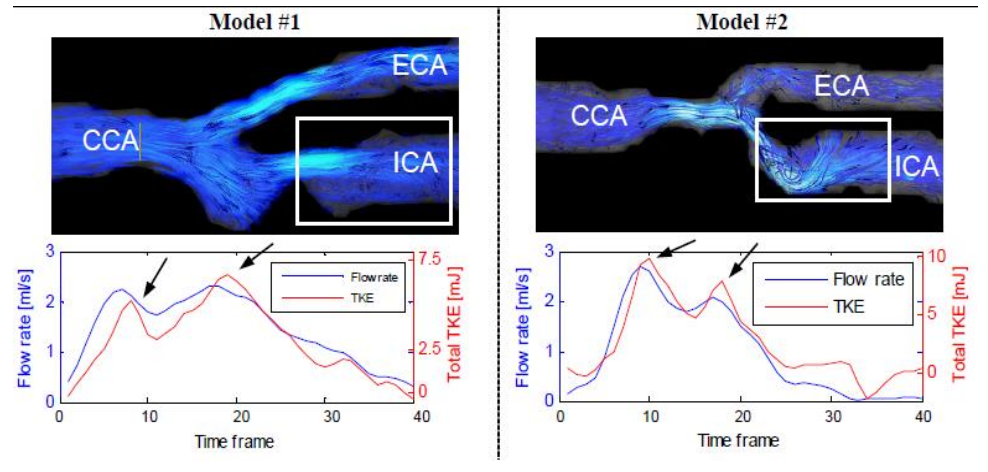
IRM 1.5 T; Séquence: 4D flow synchronisée

TR/TE = 7.3/4.5 ms

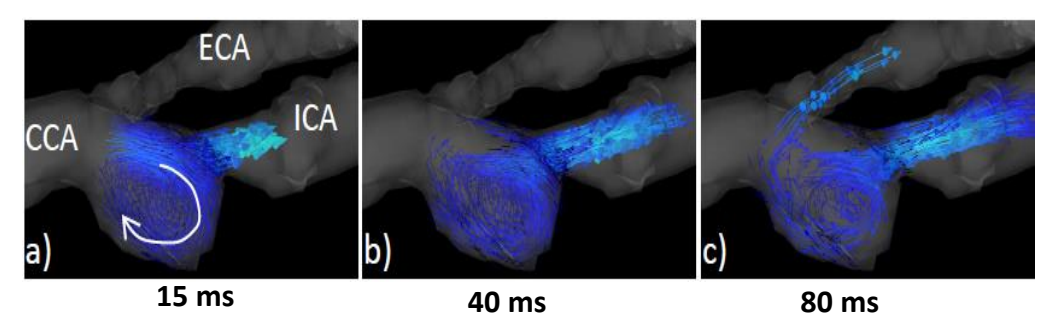
Venc = 100 cm/s

Résolution spatiale 0.96 x 0.96 x 0.96 mm<sup>3</sup>

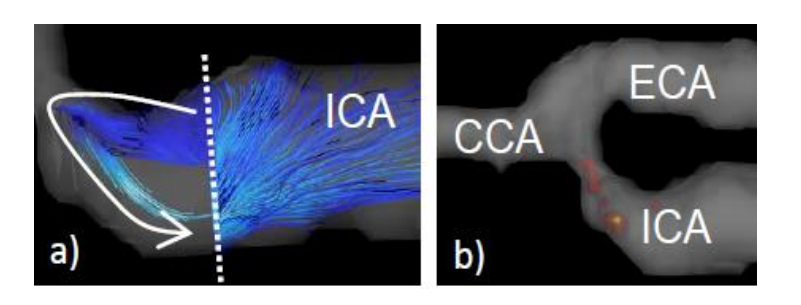
Durée = 45 mn



Lignes de courants (bleu) – codage de couleur en fonction de la vitesse. Profils des intensités des turbulences (indice TKE) dans la ROI superposés aux courbes de flux dans cette même région aux cours de la phase de systole. Les pics TKE sont décalés par rapport aux pics des courbes de flux dans cette zone.



Mise en évidence d'un flux rétrograde chez le 1<sup>er</sup> patient à différents instants de la phase systolique . Flux rétrograde de la carotide interne vers la carotide externe

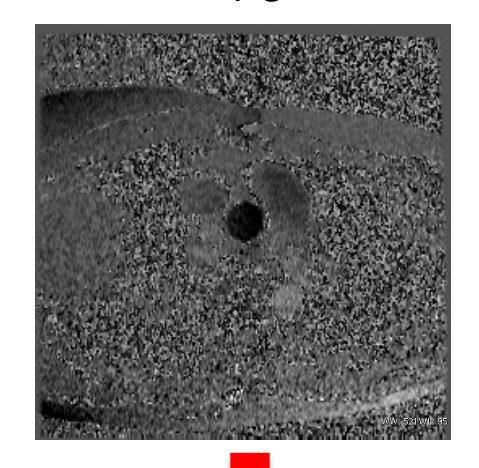


(a) Lignes de courant à partir d'un plan et mise en évidence d'un flux rétrograde chez le 2<sup>nd</sup> patient. (a) isosurfaces des indices TKE au cours de la phase systolique.

#### IRM de flux

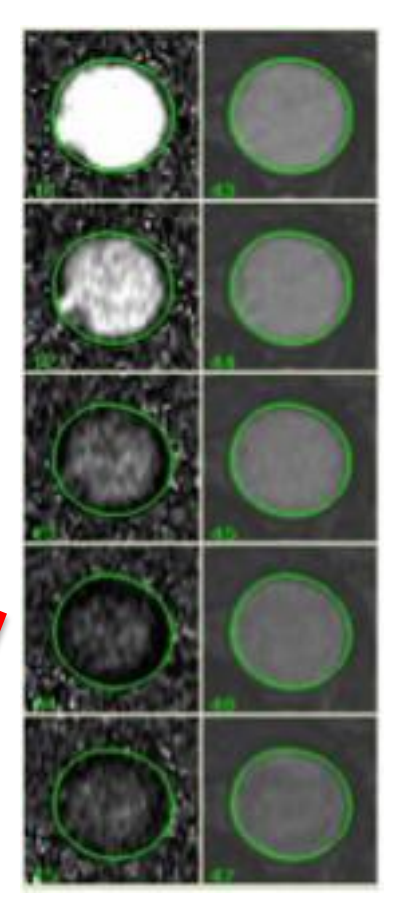
#### **Traitement des images**

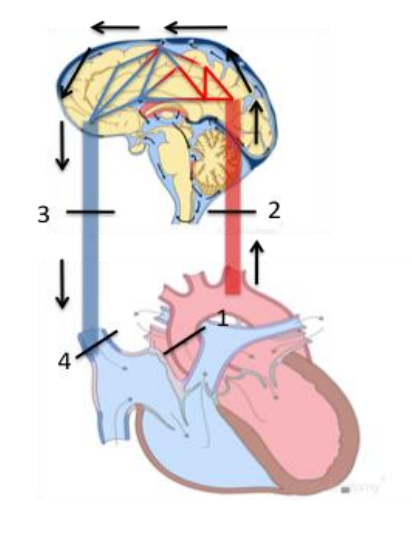
PC

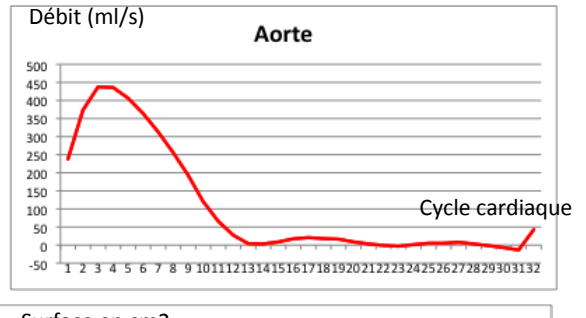


Logiciel de traitement tidam.fr open source











Calcul automatique des courbes de débit et surface sur un cycle cardiaque.

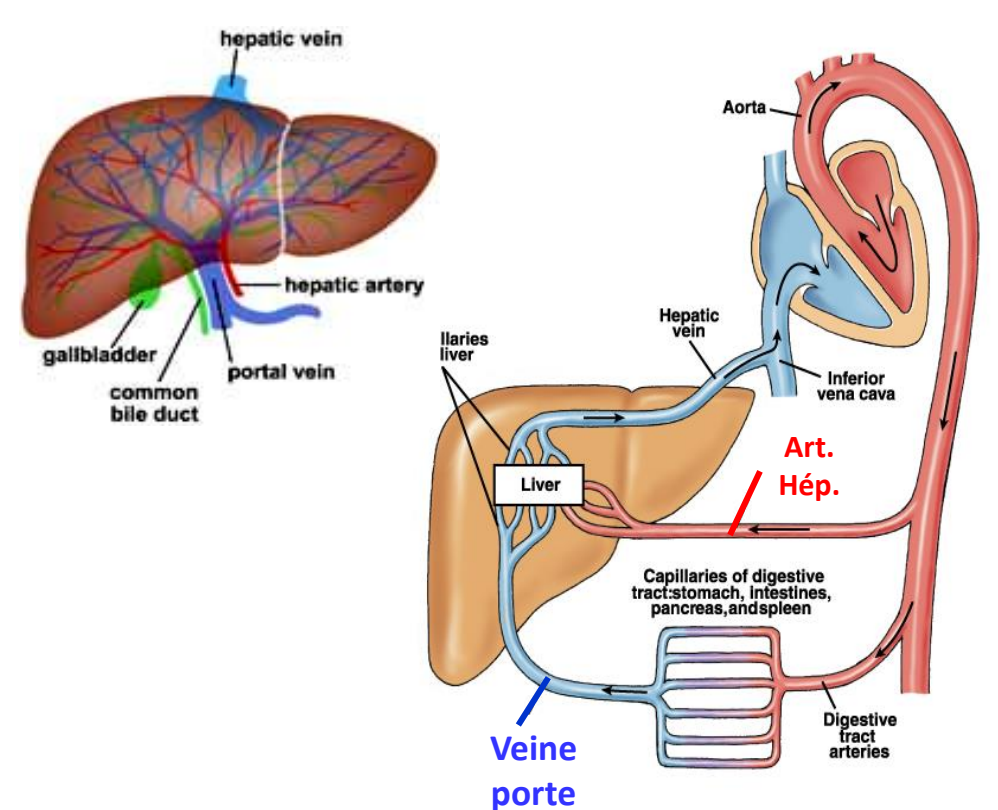
Segmentation d'une aorte sur 32 phases Propagation du contour à toutes les images de la série.

#### L'IRM de flux hépatique

- Modifications hémodynamiques au niveau hépatique
- → Marqueur des pathologies telles que la cirrhose ou la présence de tumeurs hépatiques

## Nos objectifs

- Mesure du débit hépatique total (veine porte + artère hépatique propre)
- → Doppler mais d'accès peu aisé



=> Physiologie et caractérisation de l'hémodynamique hépatique par IRM

## l'IRM de Flux hépatique

-Séquences en écho de gradient 2D fast cine PC

4 view per segment 1 NEX

-Nombre de phase : 32 **Synchronisation cardiaque et respiratoire** 

-FOV: 26 × 26 cm

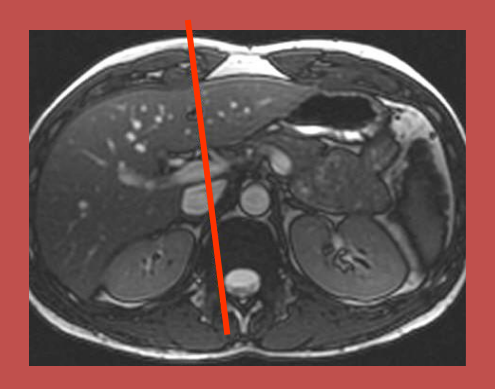
-Épaisseur de coupe : 4 mm

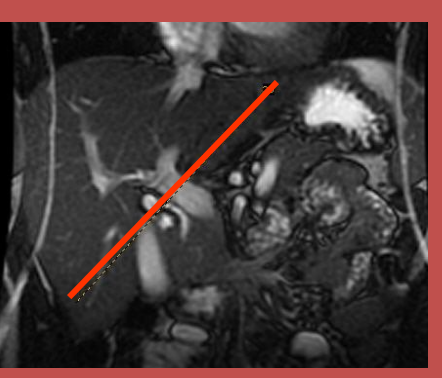
-Matrice: 256 × 256

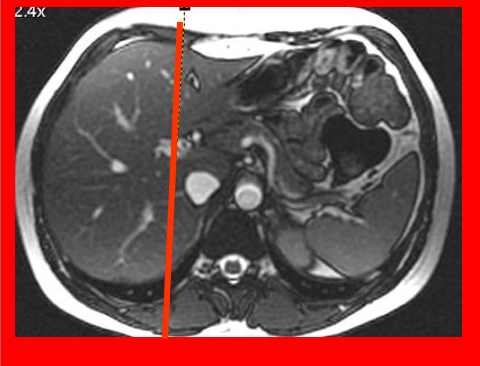
-Vitesse d'encodage : Artère Hépatique : 70 cm/sec

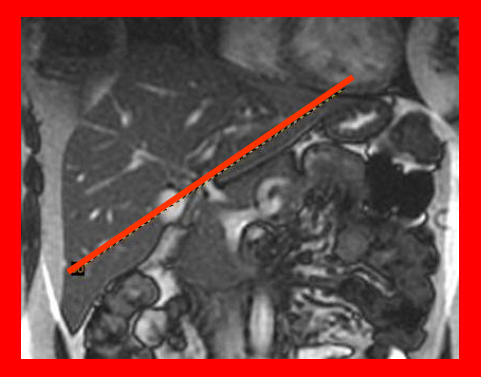
Tronc Porte: 40 cm/sec

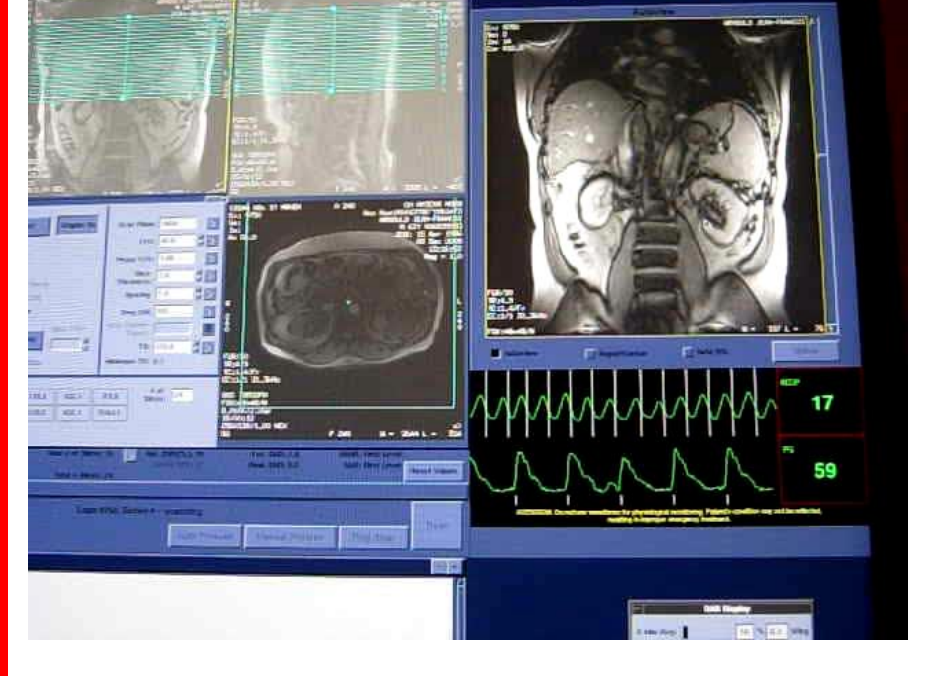
Durée de chaque séquence environ : 2 à 3 minutes







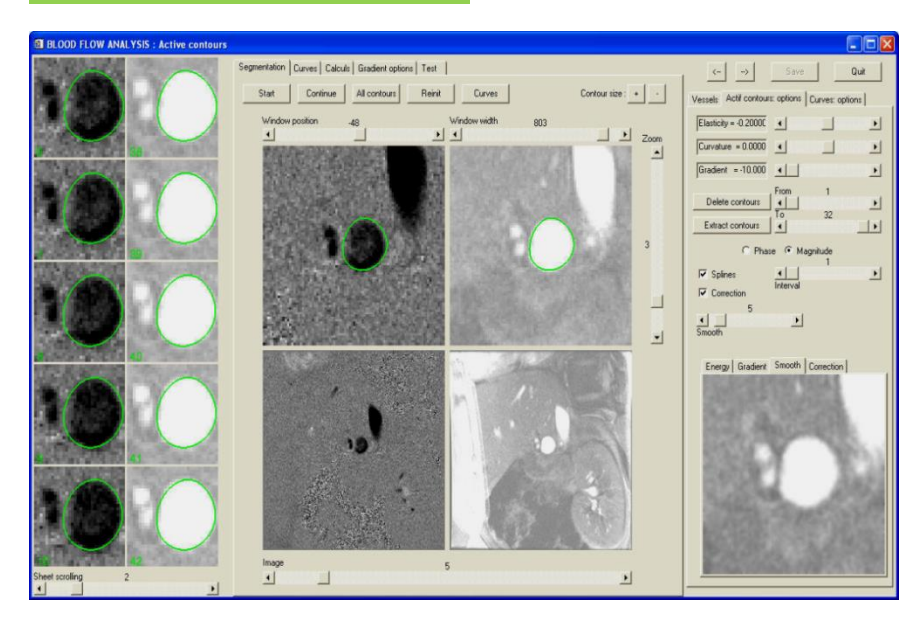




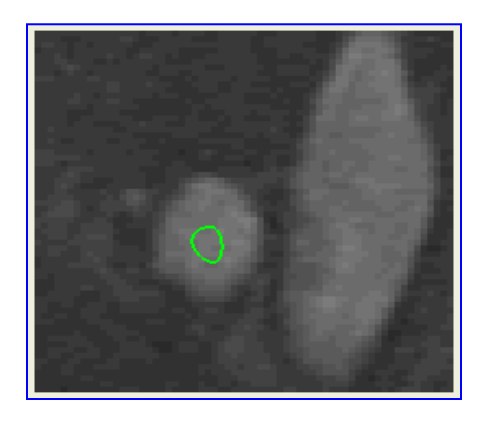
Coupe de repérage (FIESTA): artère hépatique propre

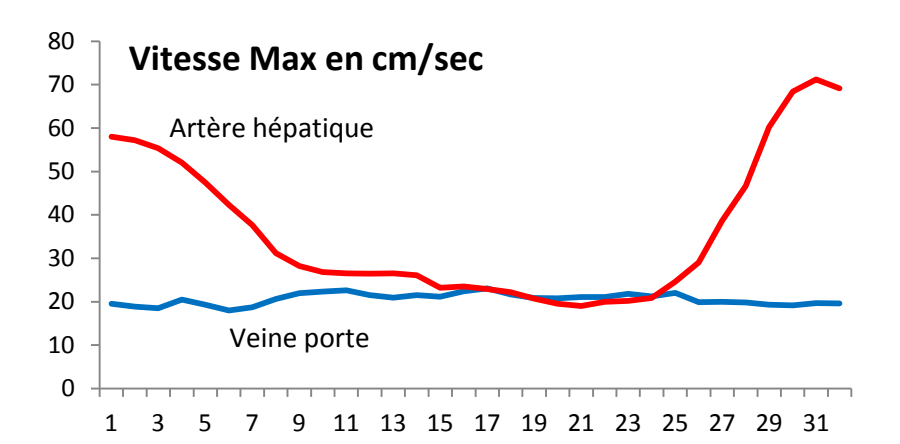
#### IRM de flux

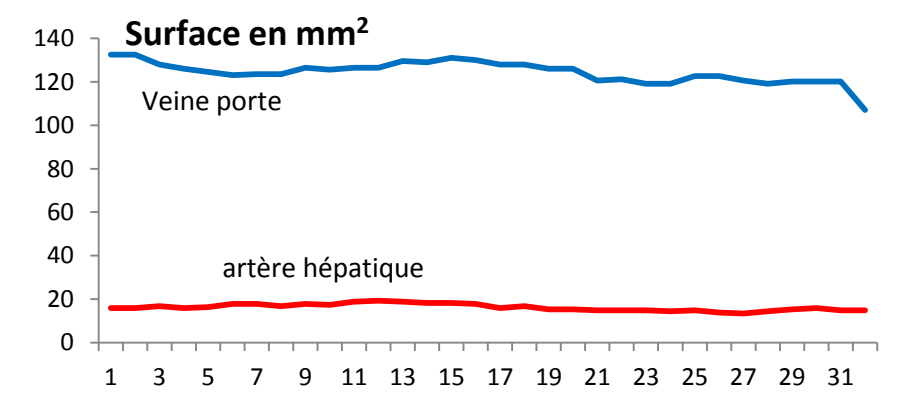
#### **Traitement des images**

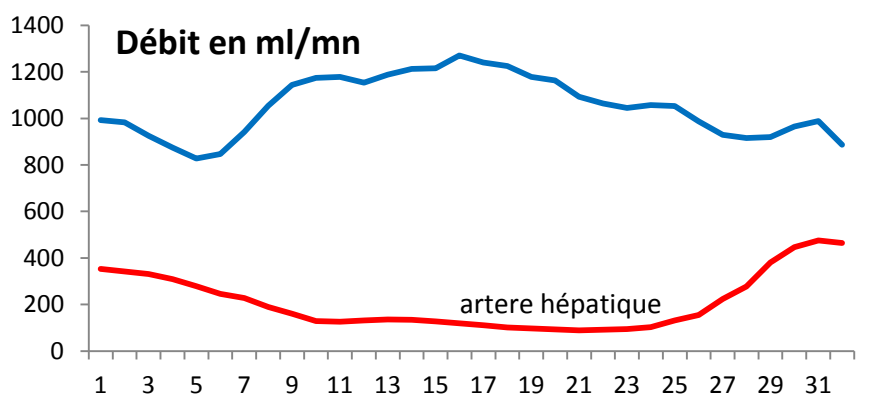


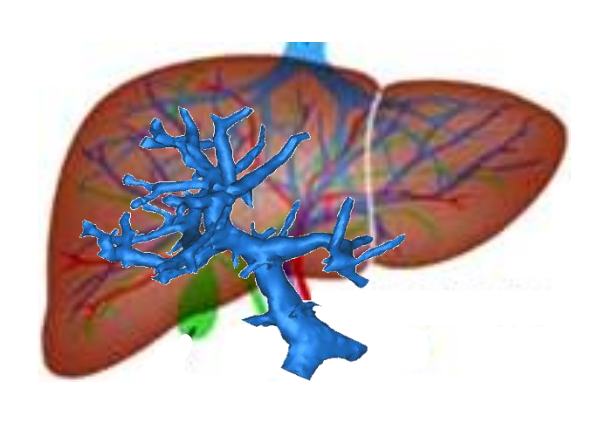
Segmentation semi-automatique des régions d'intérêts (méthode des contours actifs).







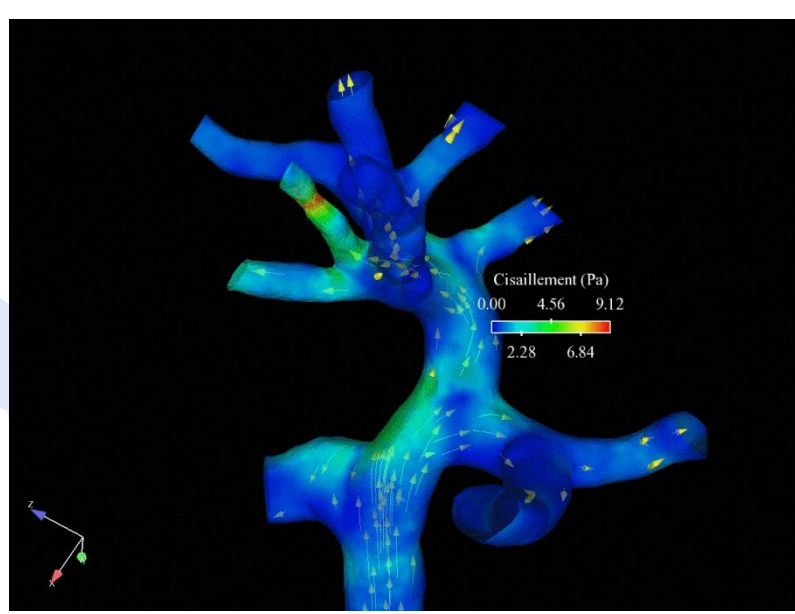




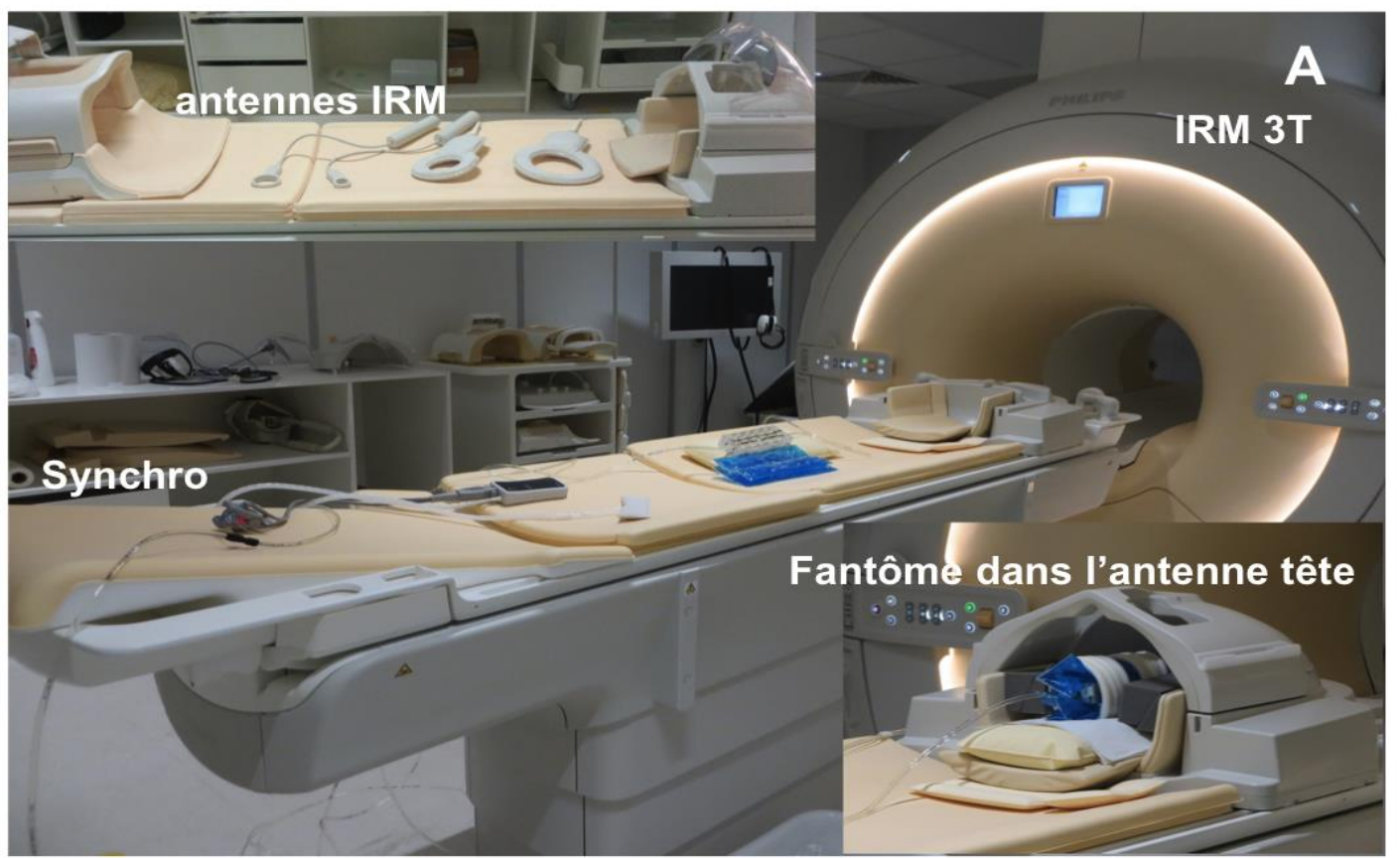


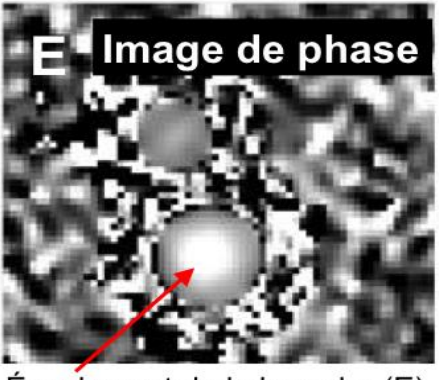
## Physiologie et physiopathologie des écoulements



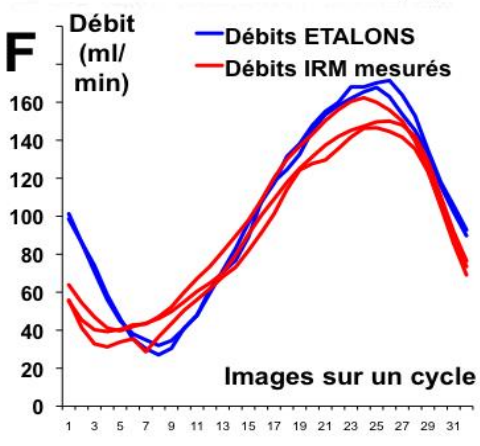


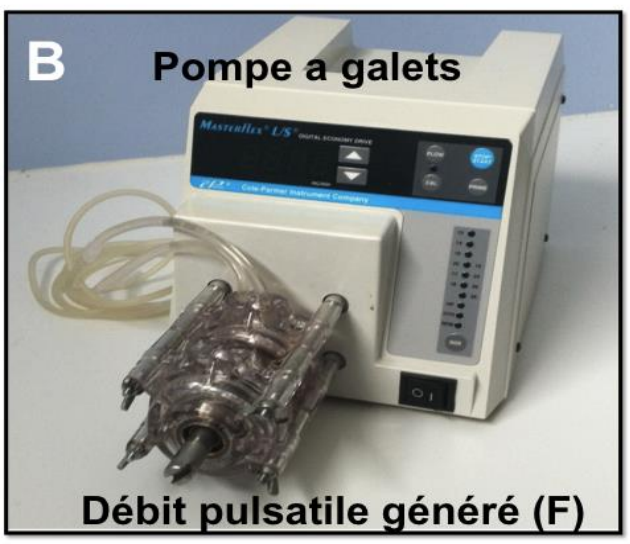
# Angiographie et IRM de Flux du système veineux cérébral: étude de sa résistance vasculaire



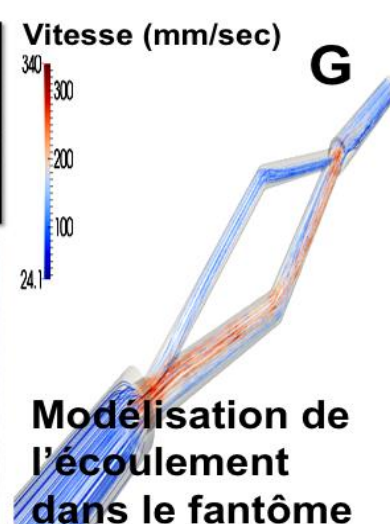


Écoulement de la branche (E)

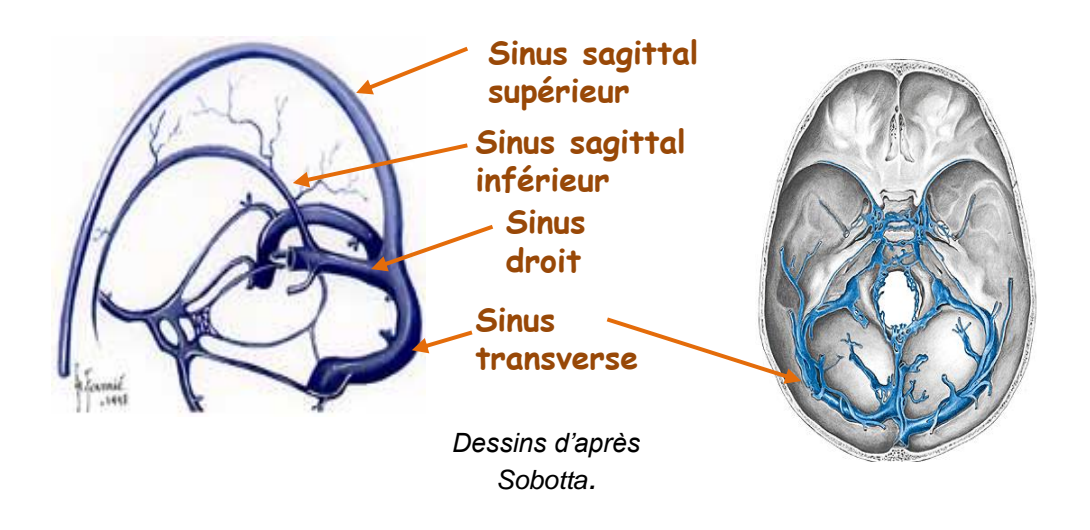


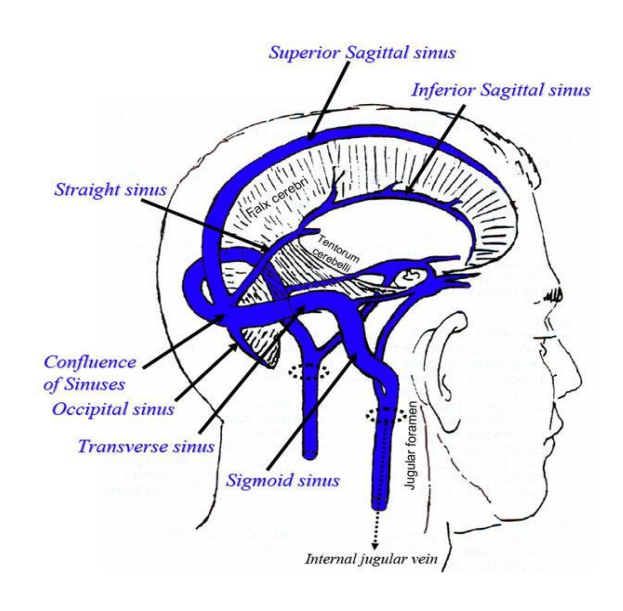






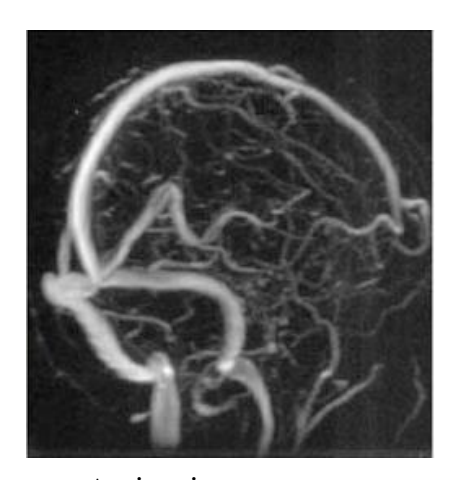
#### Réseau étudié





## **Objectifs**

- ✓ Extraction du réseau veineux à partir des images IRM
- ✓ Calcul de rayons et de longueurs sur des segments du réseau veineux
- ✓ Estimation des résistances vasculaires
- ✓ Calcul de flux vasculaires
- ✓ Estimation de la perte de charge sur certaines branches du réseau



Angio veineuse

#### Matériel et Méthodes

## **Population**

24 Volontaires sains (27 ± 6 ans, 15/9 F/M), 4 séries incomplètes,



## Paramètres de la séquence

IRM 3 Tesla (Philips Achieva dStream™)

Séquence: 3D PCA  $\alpha=10^\circ$ 

TE/TR = 8/12 ms

Champ de vue =  $23 \times 23 \text{ cm}^2$ 

Taille des voxels à l'acquisition: 1.5 mm (154x154)

Taille des voxels à la reconstruction: 0.71 mm (320x320)

Nombre de coupes = 215 coupes sagittales

Epaisseur de coupe 1.5 mm; Gap = 0.75

Temps d' acquisition = 3 min environ

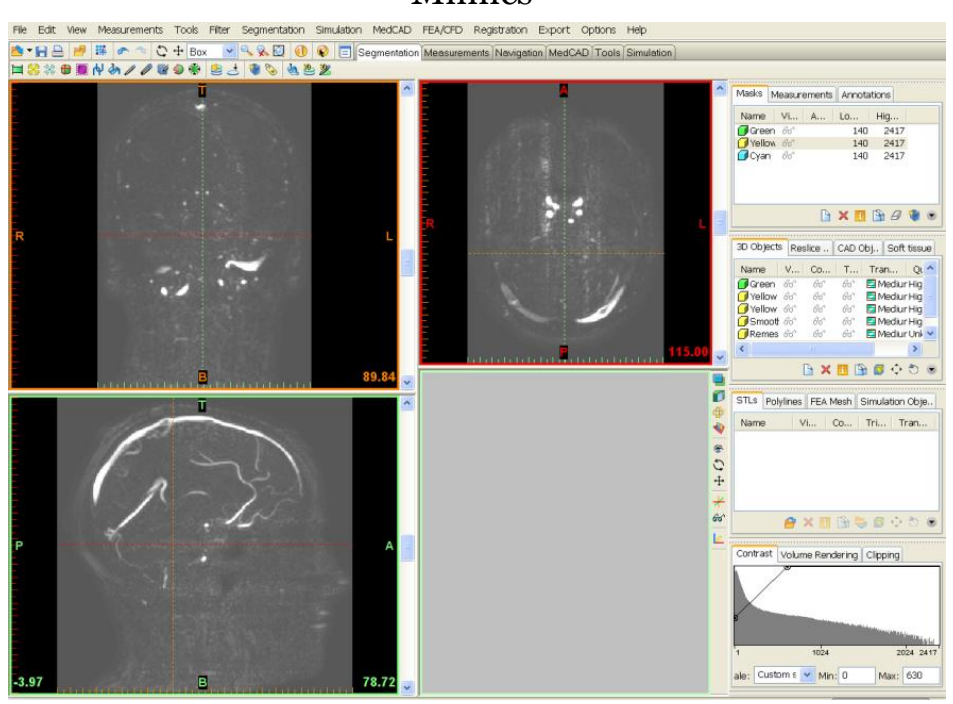


#### Post-traitement des données

#### Console IRM

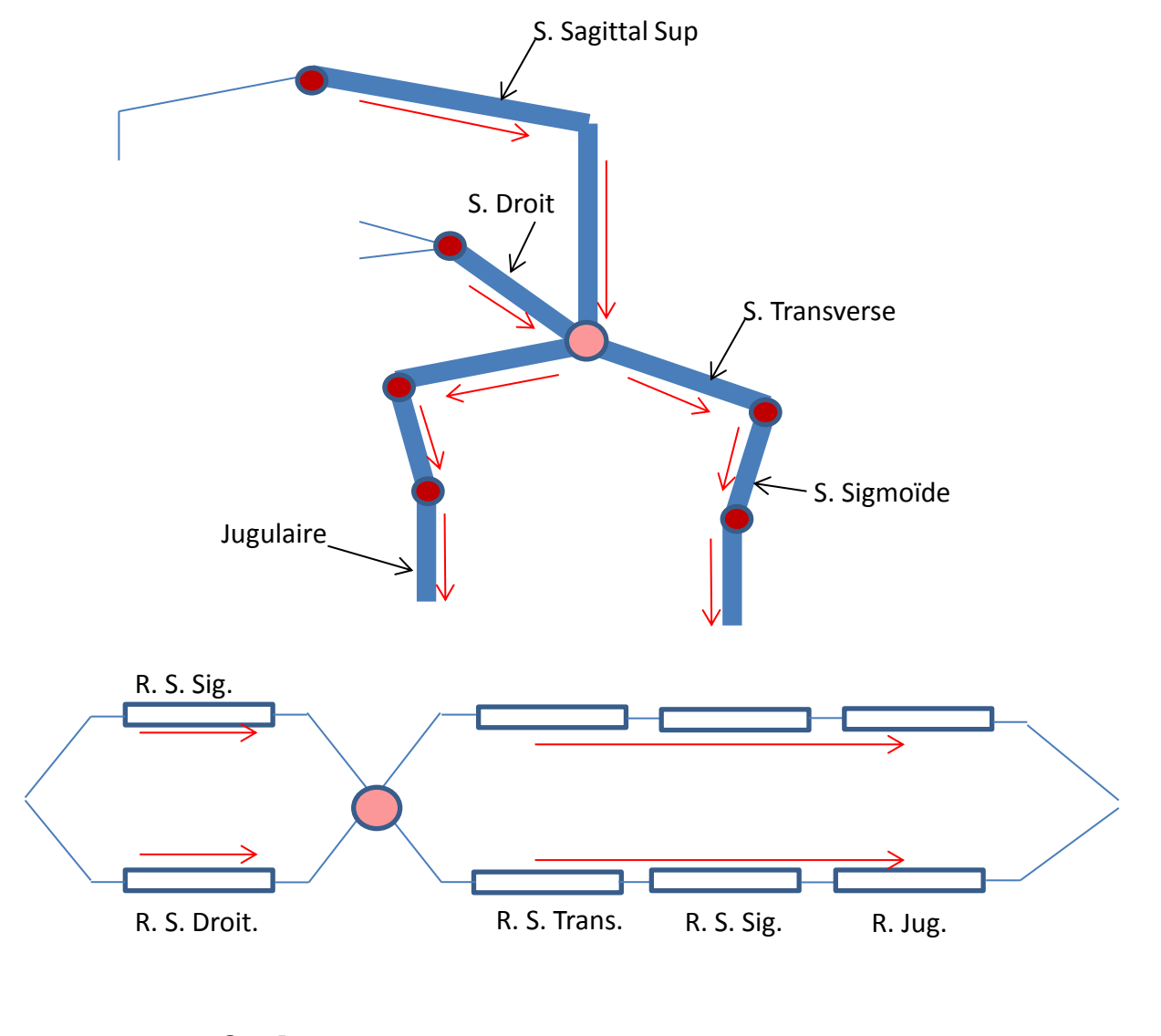


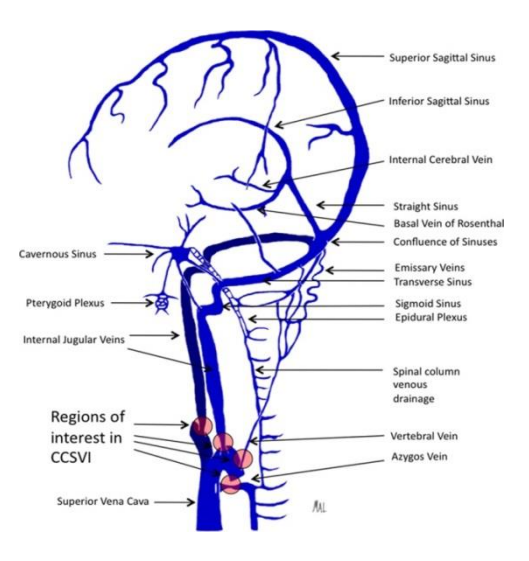
#### **Mimics**

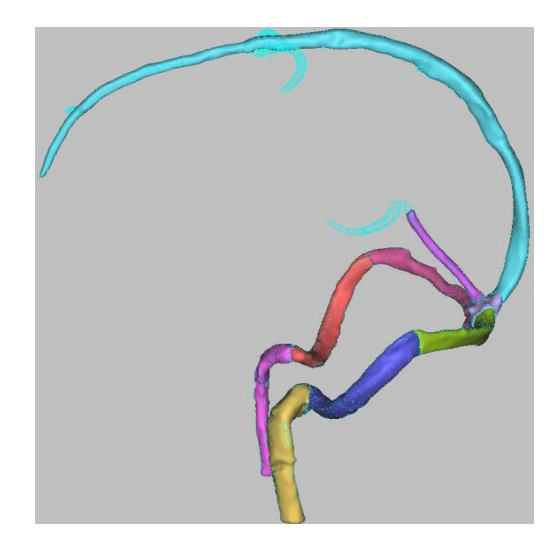




## Analogie à un modèle électrique







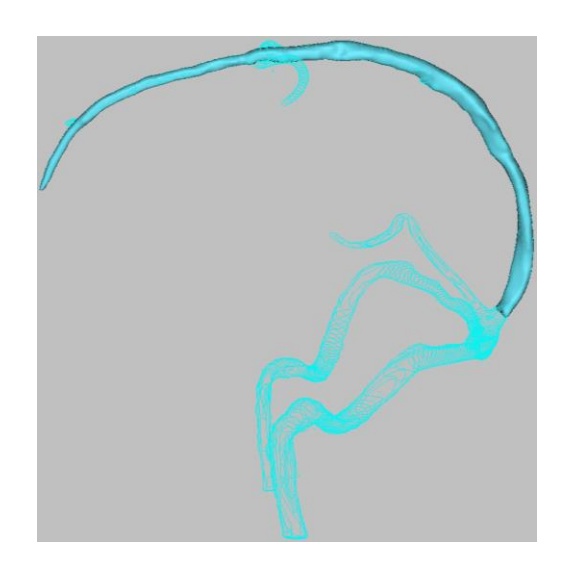
$$R = \frac{8 \, \eta \, L}{\pi \, r h^4}$$

 $\eta {\to \it viscosit\'e du sang}$ 

 $L \rightarrow Longueur$ 

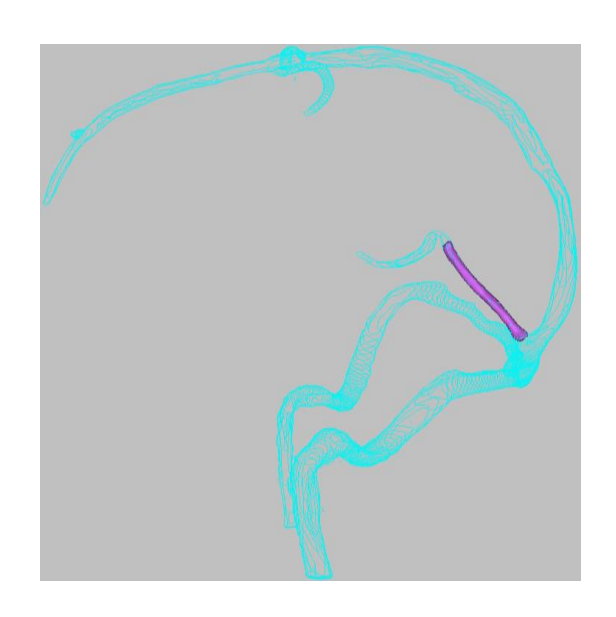
# Sinus sagittal supérieur

		SSS	
	Résistance Vasculaire (Pa. s. /cm³)	Longueur (mm)	Diamètre moyen (mm)
Moyenne	18.34	125.44	6.03
<b>Ecart type</b>	9.47	11	0.94



# Sinus droit

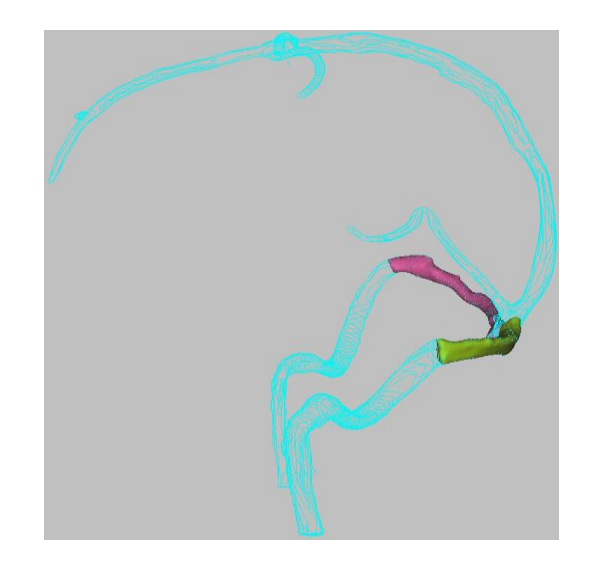
		SD	
	Résistance Vasculaire (Pa. s. /cm³)	Longueur (mm)	Diamètre moyen (mm)
Moyenne	39.90	31.65	3.43
<b>Ecart type</b>	17.83	6.57	0.47



#### Sinus transverses

		$ST_{gauche}$	
	Résistance Vasculaire (Pa. s. /cm³)	Longueur (mm)	Diamètre moyen (mm)
Moyenne	9.17	54.57	6.14
Ecart type	9.25	12.95	1.39

		$ST_{droit}$	
	Résistance Vasculaire (Pa. s. /cm³)	Longueur (mm)	Diamètre moyen (mm)
Moyenne	16.64	59.18	5.25
<b>Ecart type</b>	13.71	8.86	1.08



# Index d'asymétrie (%)

	Résistance Vasculaire	Longueur	Diamètre moyen
IA	30	4	7

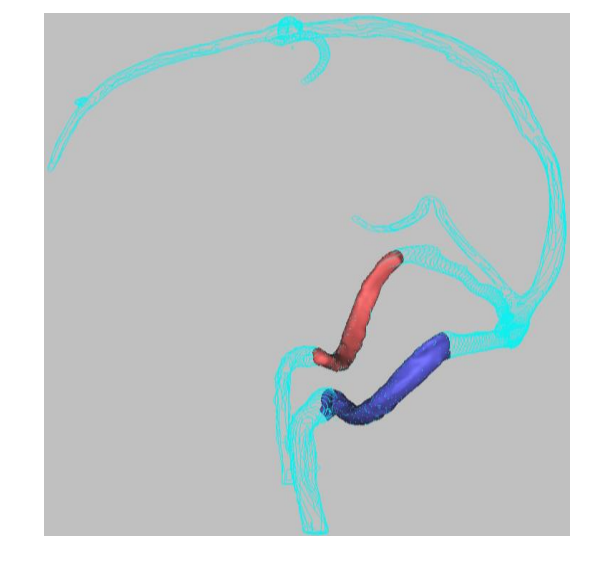
#### Index d'asymétrie

$$IA = \frac{\left| S_{gauche} - Sdr_{oit} \right|}{S_{gauche} + S_{droit}}$$

# Sinus Sigmoïdes

		S Sig <sub>gauche</sub>	
	Résistance Vasculaire (Pa. s. /cm³)	Longueur (mm)	Diamètre moyen (mm)
Moyenne	4.49	40.06	6.71
<b>Ecart type</b>	4.21	9.82	1.41

		$SSig_{droit}$	
	Résistance Vasculaire (Pa. s. /cm³)	Longueur (mm)	Diamètre moyen (mm)
Moyenne	9.76	44.25	5.47
Ecart type	6.78	7.63	0.95



# Index d'asymétrie (%) Résistance Vasculaire Longueur moyen IA 36 5 10

#### Index d'asymétrie

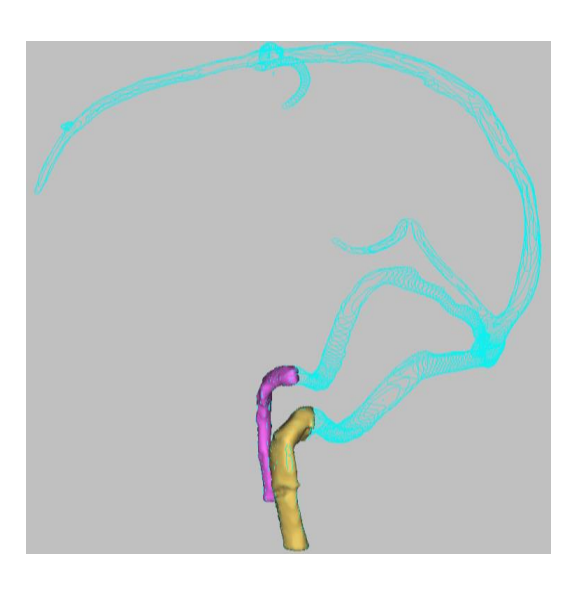
$$IA = \frac{\left| S_{gauche} - Sdr_{oit} \right|}{S_{gauche} + S_{droit}}$$

# Jugulaires

		$\mathbf{Jug}_{\mathrm{gauche}}$	
	Résistance Vasculaire (Pa. S. /cm³)	Longueur (mm)	Diamètre moyen (mm)
Moyenne	3.99	37.04	6.66
<b>Ecart type</b>	3.18	13.38	1.47

		$\mathbf{Jug}_{\mathrm{droit}}$	
	Résistance Vasculaire (Pa. S. /cm³)	Longueur (mm)	Diamètre moyen (mm)
Moyenne	8.37	35.78	5.31
<b>Ecart type</b>	5.81	10.35	0.83

	Index d'asymétrie (%)		
	Résistance Vasculaire	Longueur	Diamètre moyen
IA	35	2	11



#### Cartographie des flux: 2D

#### Paramètres de la séquence

IRM 3 Tesla

Séquence cinétique de contraste de phase

$$\alpha = 30^{\circ}$$

TE/TR = 12/19 ms

Champ de vue =  $140 \times 140 \text{ mm}^2$ 

Matrice: 280 x 280

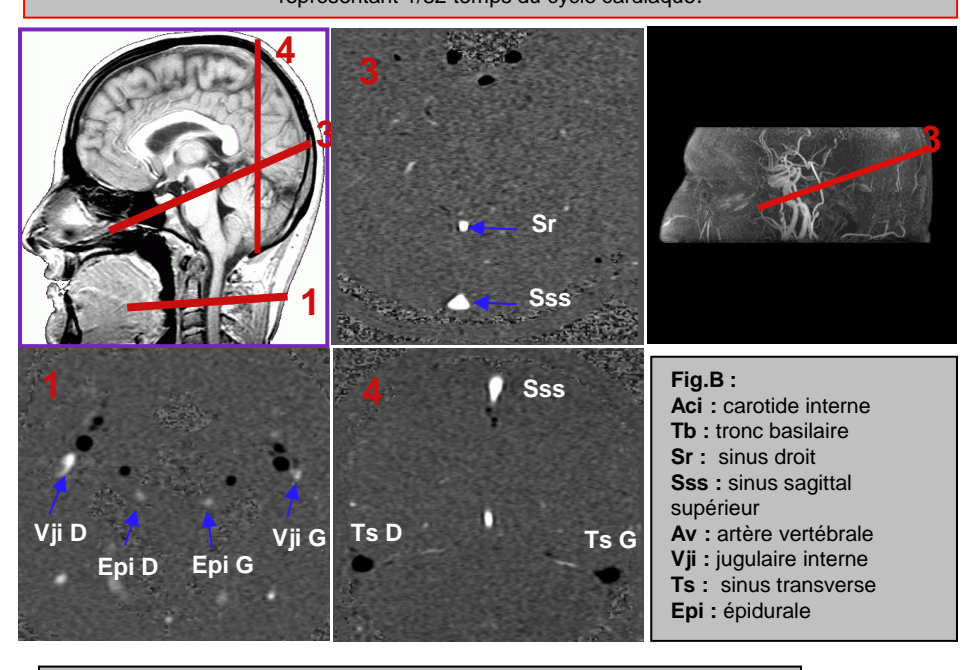
Résolution:  $0.5 \times 0.5 \times 5 \text{ mm}^3$ 

Vitesse encodage = 60 cm/sec

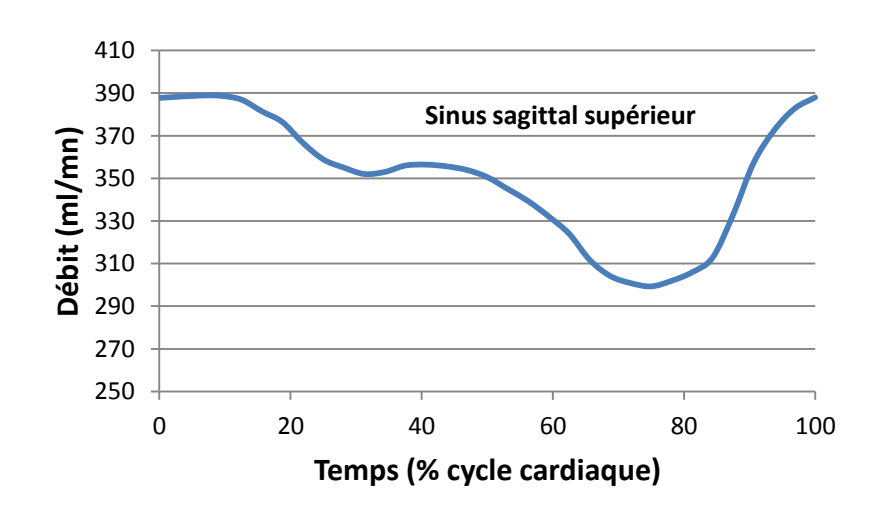
Durée d'acquisition: 1.12 min

environ

#### Acquisition vasculaire (Venc = 80 cm/sec) représentant 1/32 temps du cycle cardiaque.

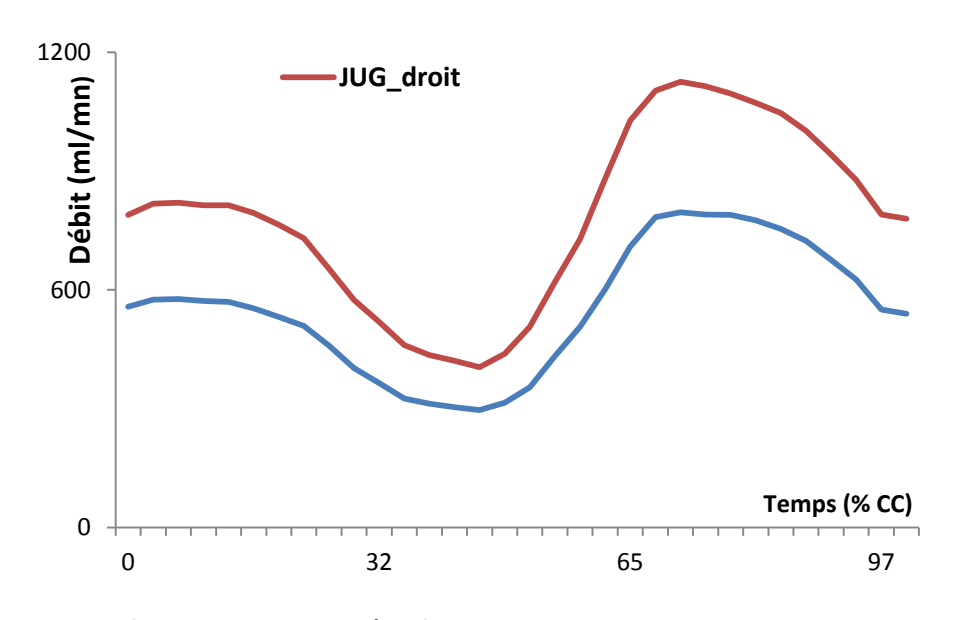


#### Positions des coupes en fonction des vaisseaux d'intérêt.

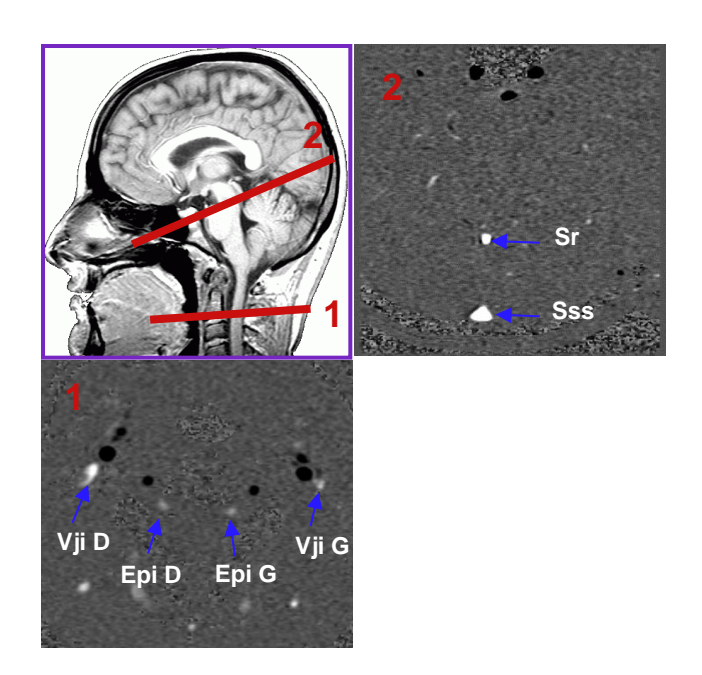


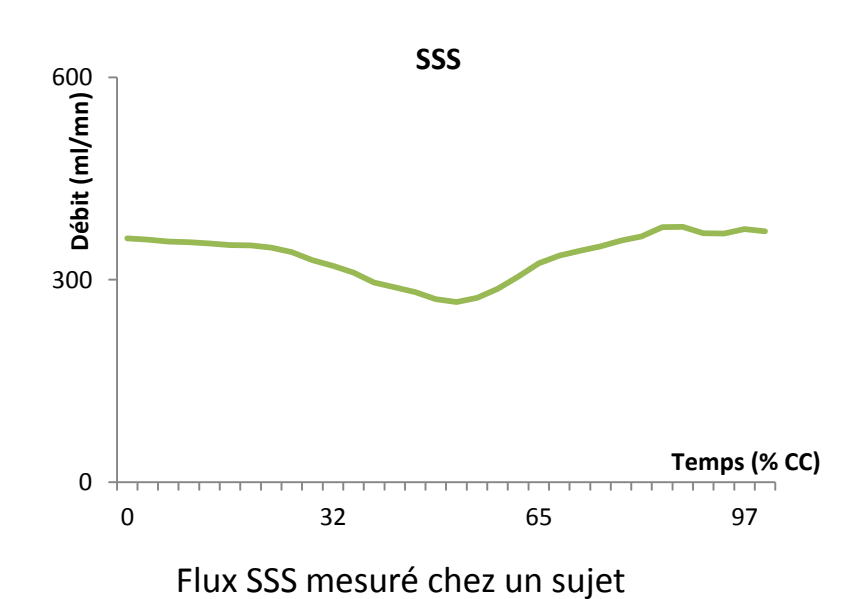
## Débits mesurés: Jugulaires et SSS

	Débit (ml/mn)		
	$\mathrm{JUG}_{\mathrm{gauche}}$	$\mathrm{JUG}_{\mathrm{droit}}$	SSS
Moyenne	349.03	266.60	324
Ecart type	134.58	109.07	77.66

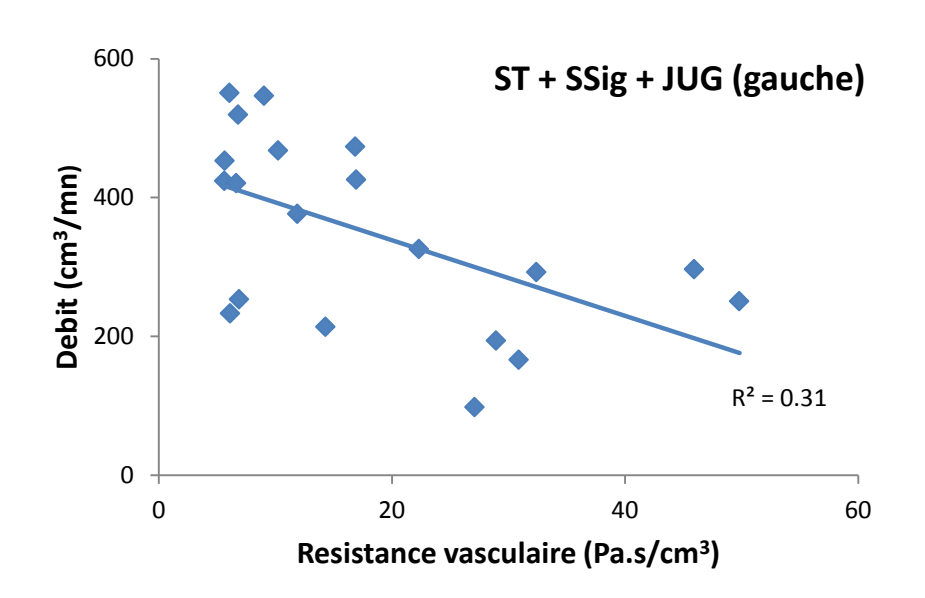


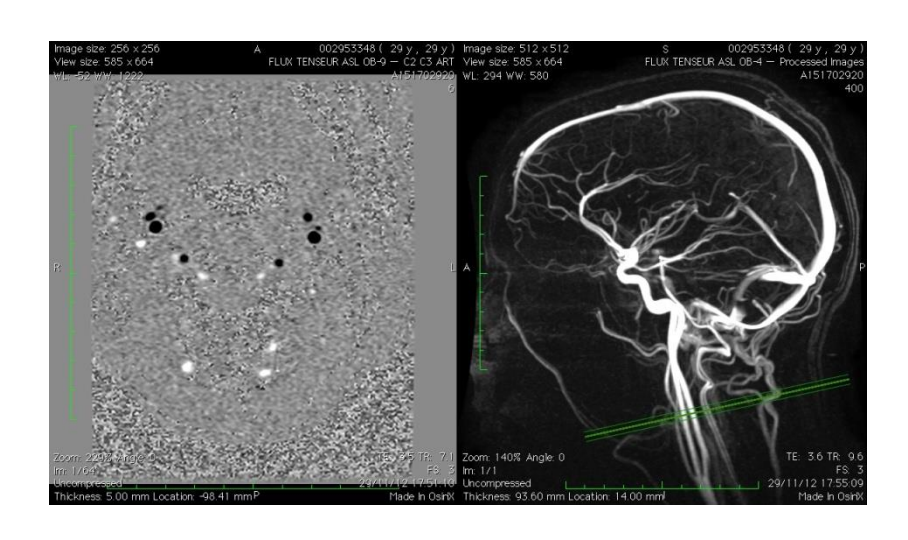
Flux C2C3 mesurés chez un sujet

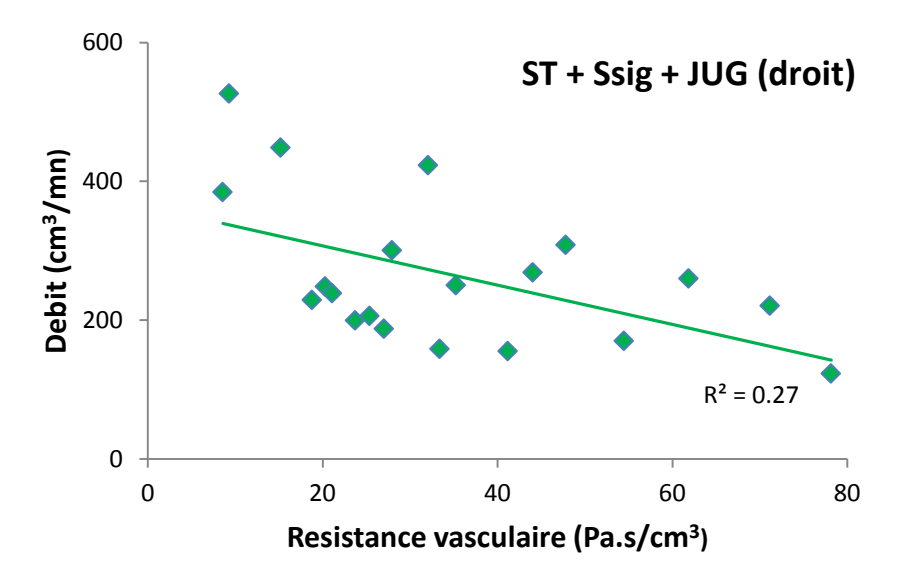


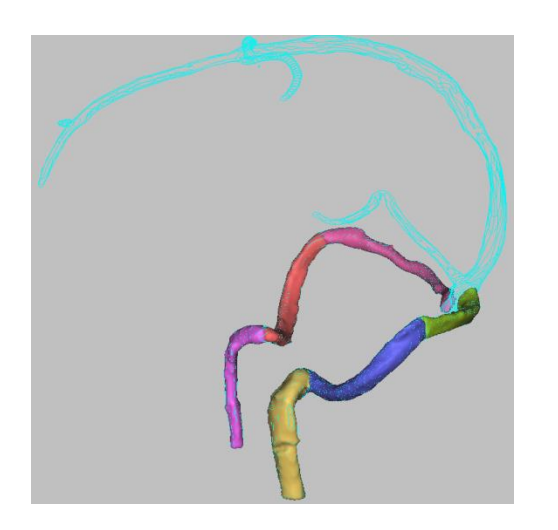


#### Corrélations entre flux et résistances vasculaires

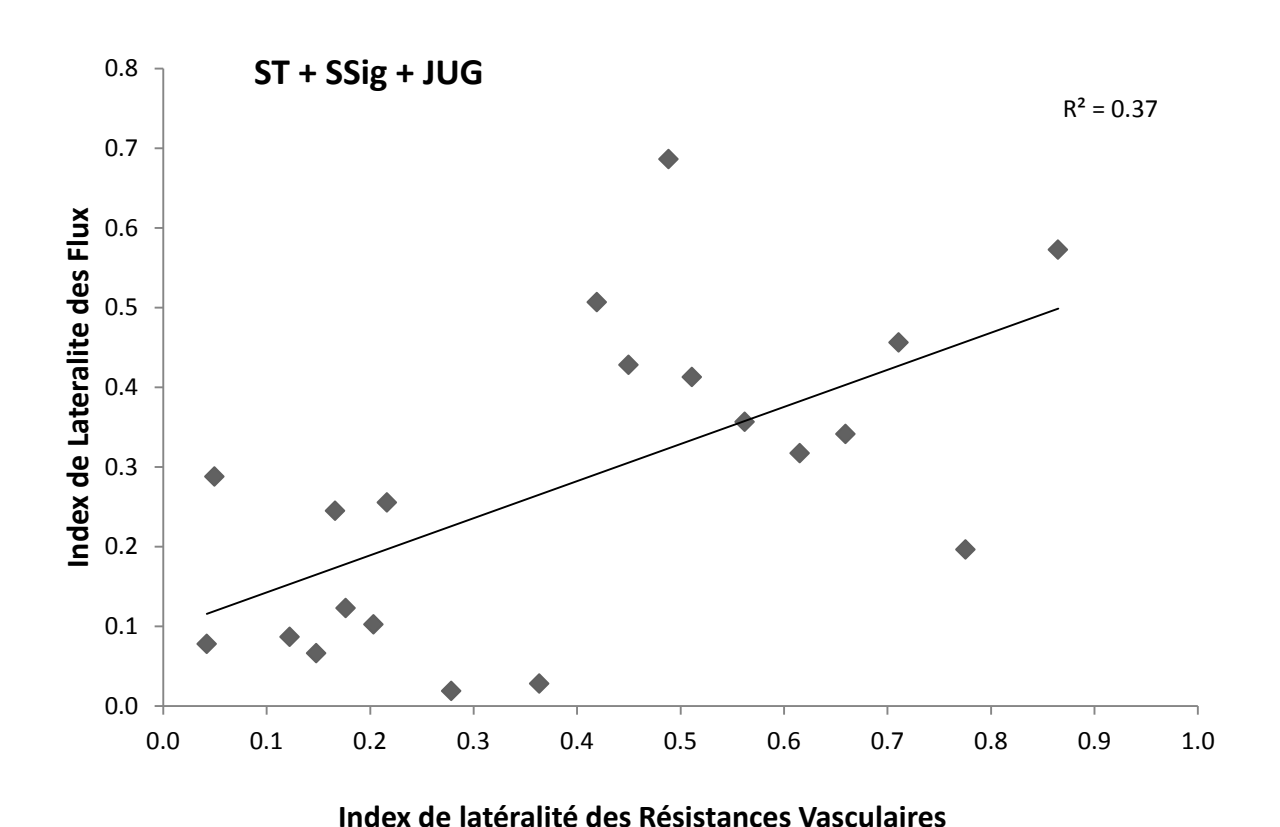




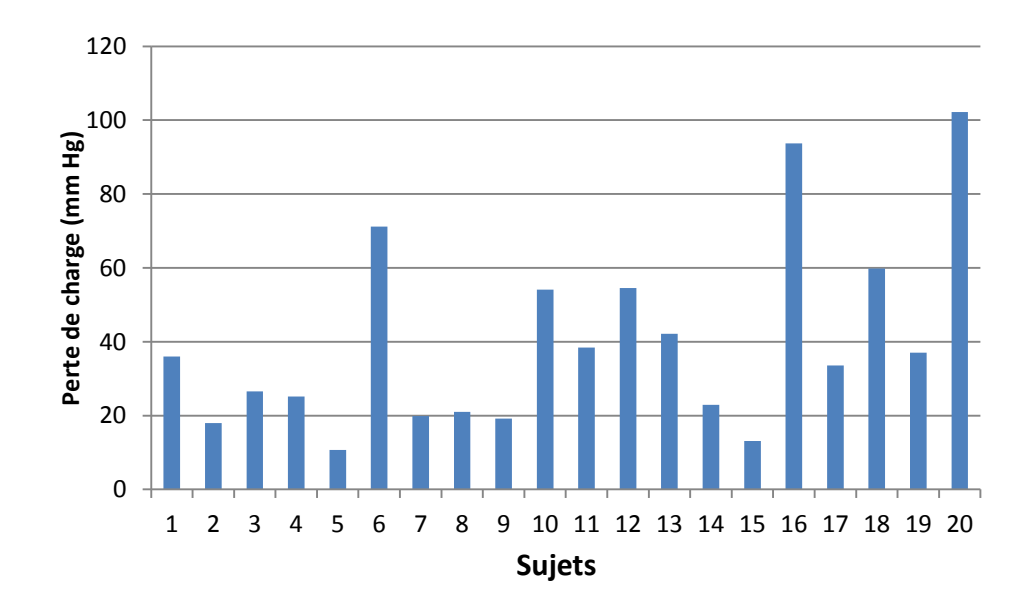




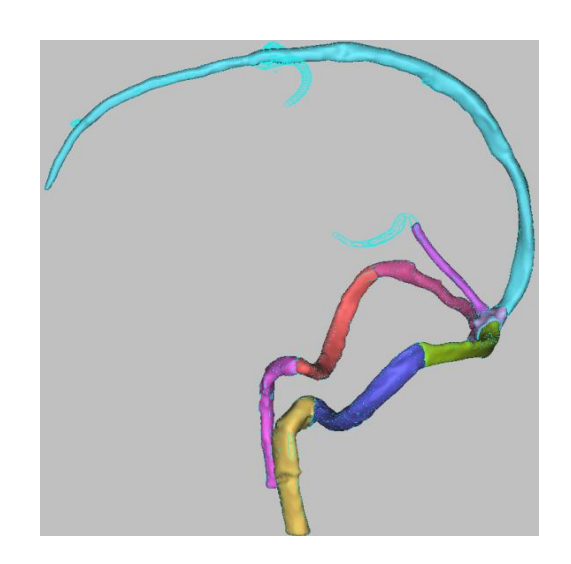
# Corrélation entre Index de latéralité des flux et des résistances vasculaires



#### Estimation de la Perte de charge totale (mm Hg)



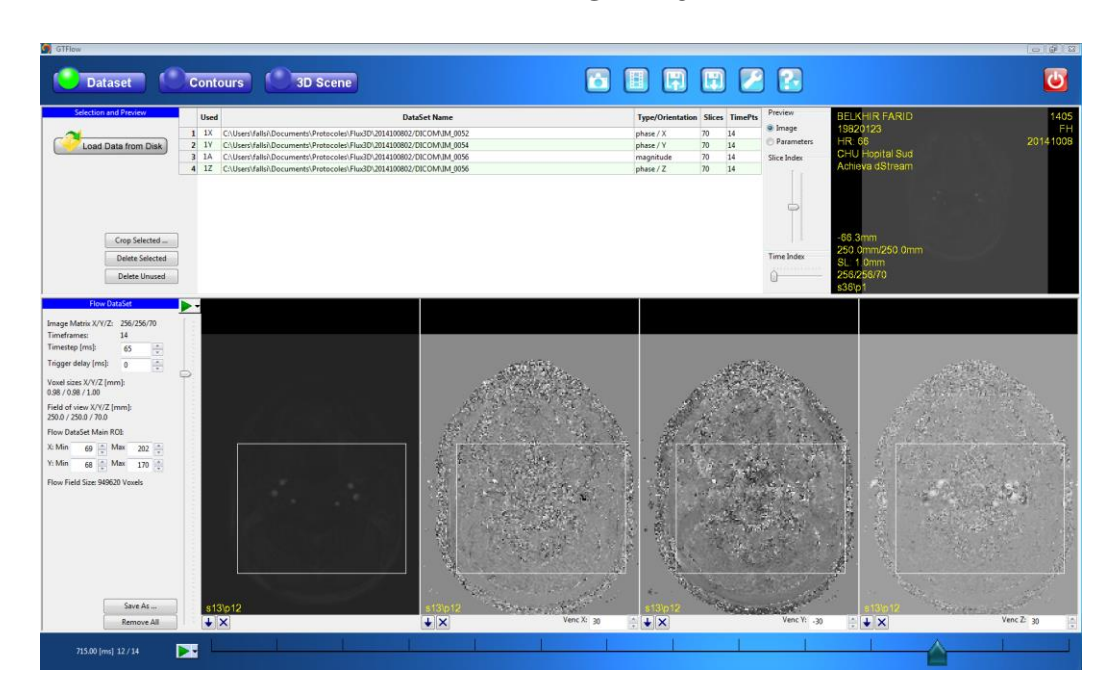
Perte de charge =	résistance	x débit
-------------------	------------	---------

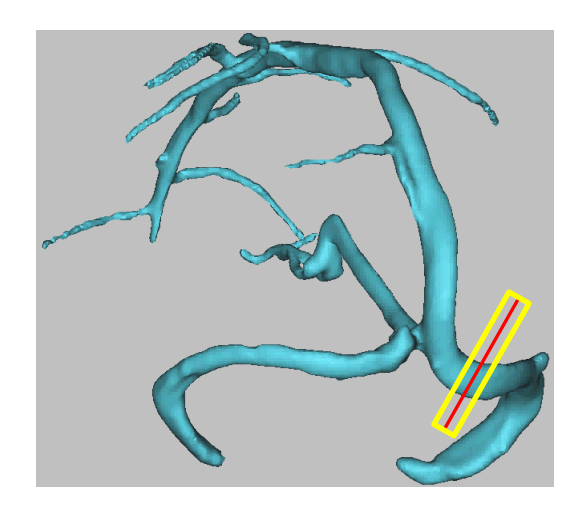


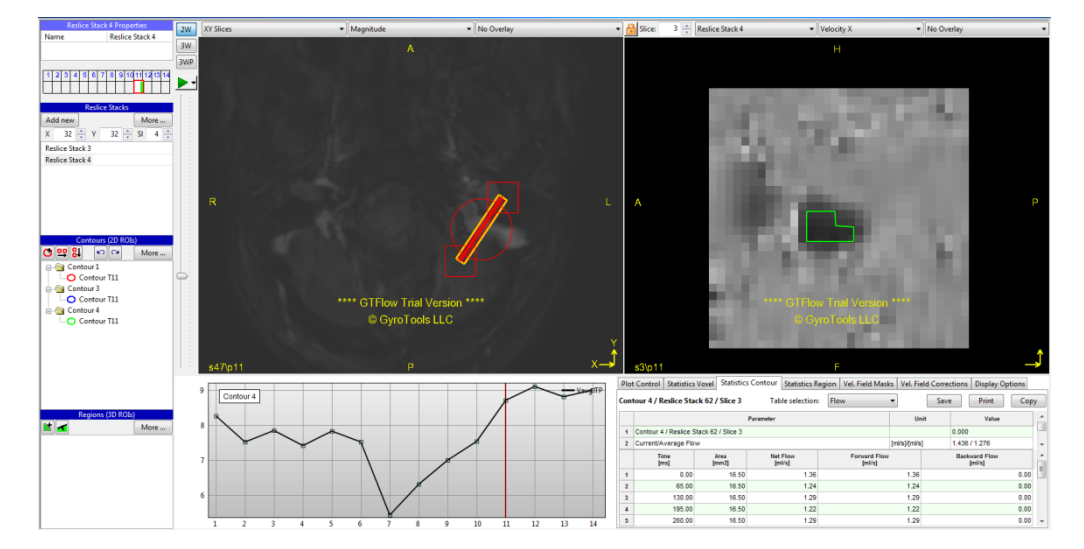
	Perte de charge
	(mm Hg)
Moyenne	39
<b>Ecart type</b>	25

#### Flux 3D

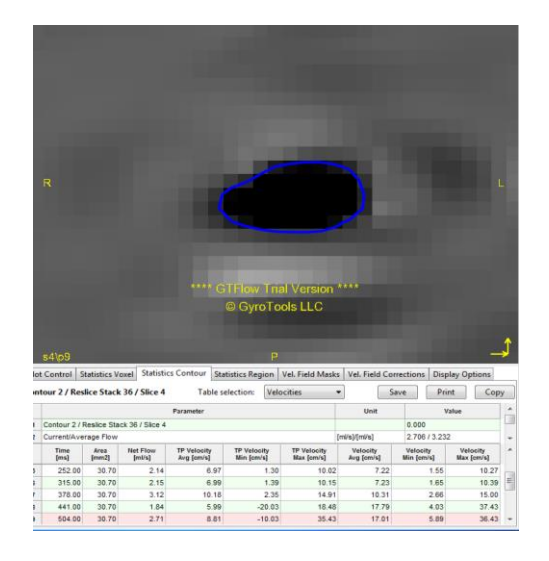
#### **GT Flow**

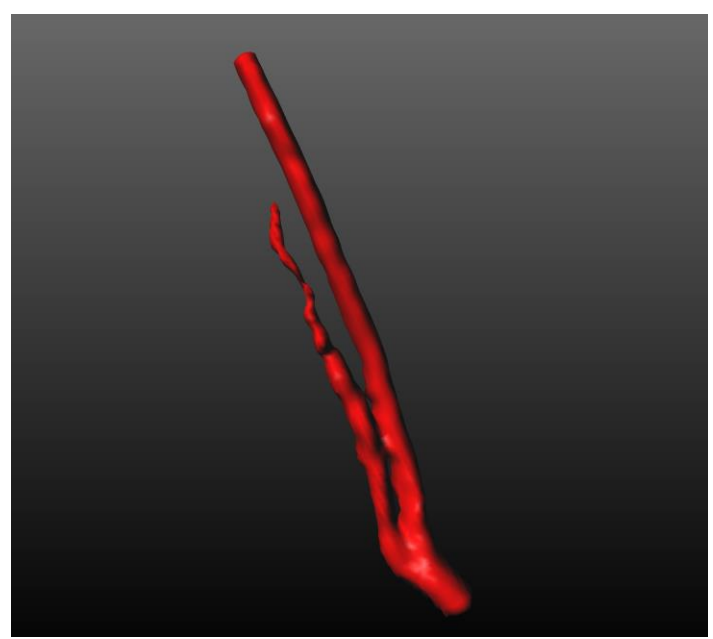




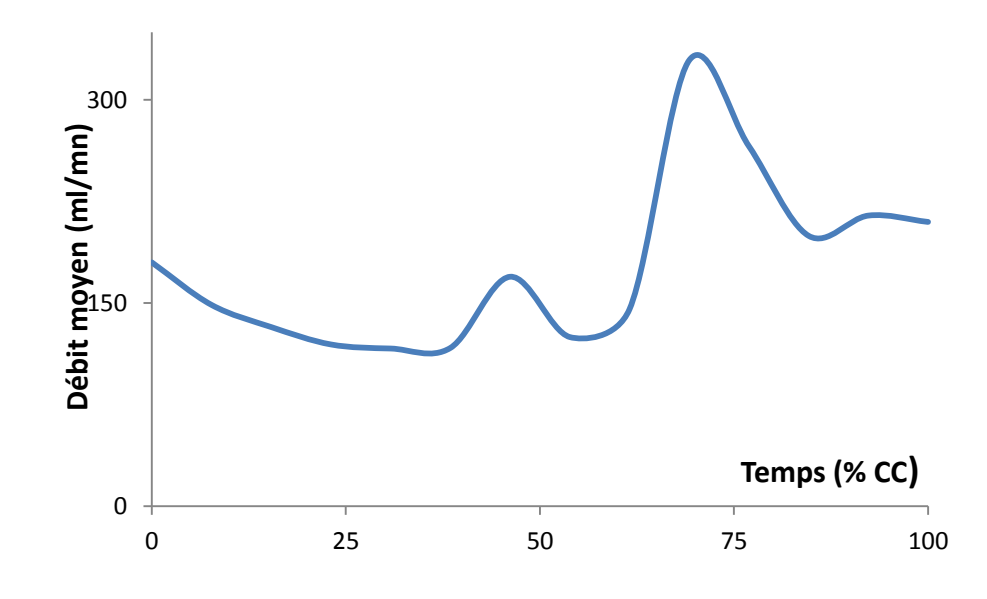


### Flux 3D









# Merci













